

Figure 1.2. *Trypanosoma gambiense* (Kinetoplastida).

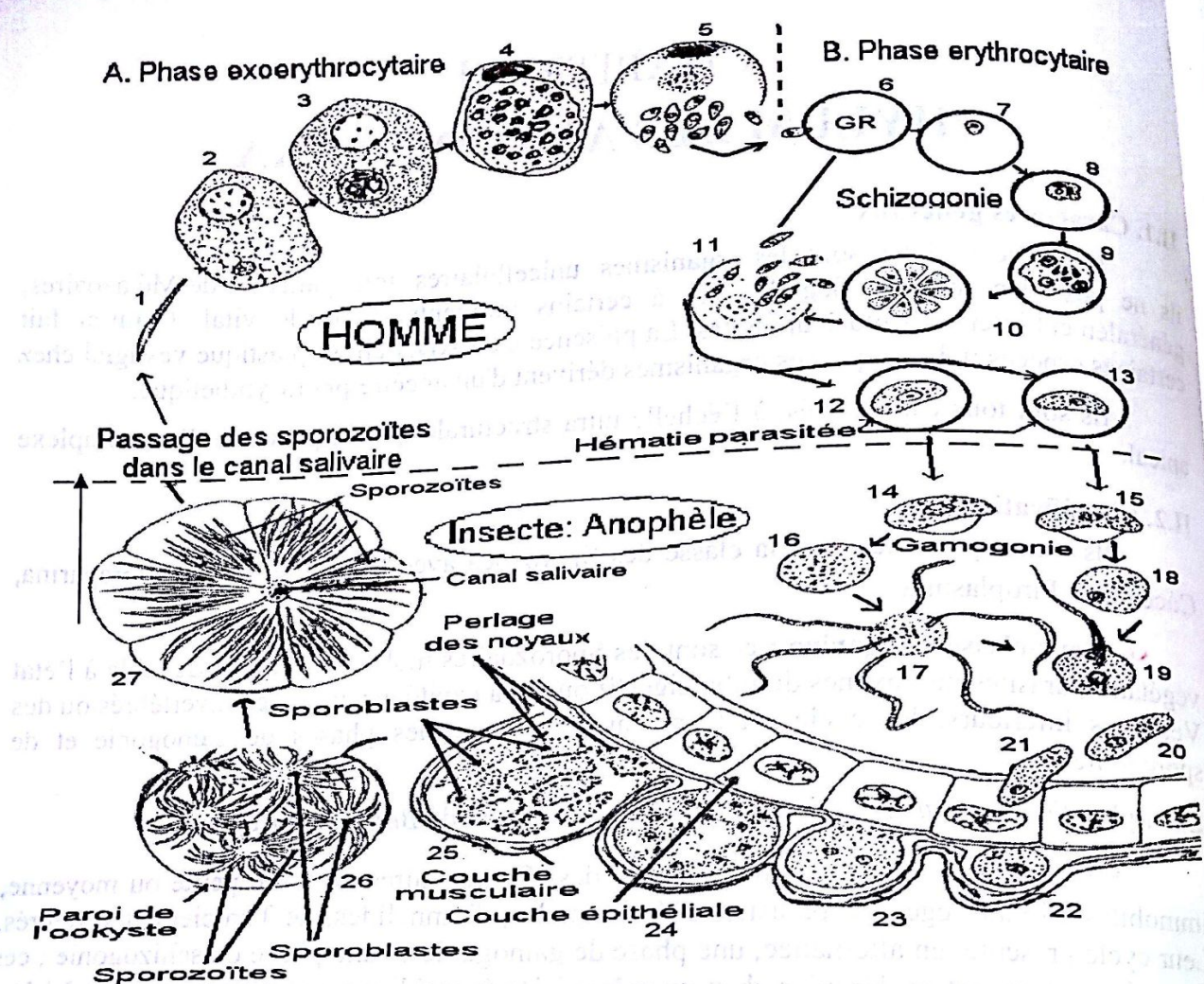


Figure 2.1. Cycle évolutif du *Plasmodium falciparum*

#### A. Phase exoerythrocytaire.

- 1-2. Plasmodium sous forme de sporozoïte et pénétration du sporozoïte à l'intérieur d'une cellule hépatique.
4. Schizonte.
- 5-6. Libération des schizozoïtes : libération dans d'autres cellules hépatiques et pénétration dans une hématie.

#### B. Phase erythrocytaire.

7. Hématie parasitée contenant un schizonte de forme amiboidé.
- 9-10. Multiplication des noyaux fils haploïdes et formation de « corps en rosette ».
11. Eclatement de l'hématie
12. Hématie parasitée contenant un gamonte à n chromosome arqué à gros noyau : gamonte mâle.
13. Hématie parasitée contenant un gamonte arqué à petit noyau : gamonte femelle.

- 14-15. Développement du gamonte mâle et du gamonte femelle.
19. Fécondation et formation du noyau de fécondation diploïde.
20. Zygote diploïde, mobile à la façon d'une amibe ou oocinète.
21. Oocinète (zygote mobile) traversant la paroi de l'intestin moyen.
22. Oocinète enkysté (=ookyste) coincé entre la paroi intestinale et la couche musculaire.
24. Fin de la méiose suivie de nombreuses divisions des 2 noyaux-fils haploïdes et fragmentation du cytoplasme : formation de sporoblastes.
26. Formation de très nombreux sporozoïtes, éclatement de l'ookyste et libération des sporozoïtes dans la cavité générale.
27. Glandes salivaires parasitées par de nombreux sporozoaires.

H  
o  
m  
m  
e  
  
A  
n  
o  
p  
h  
e  
l

# Phylum des CILI

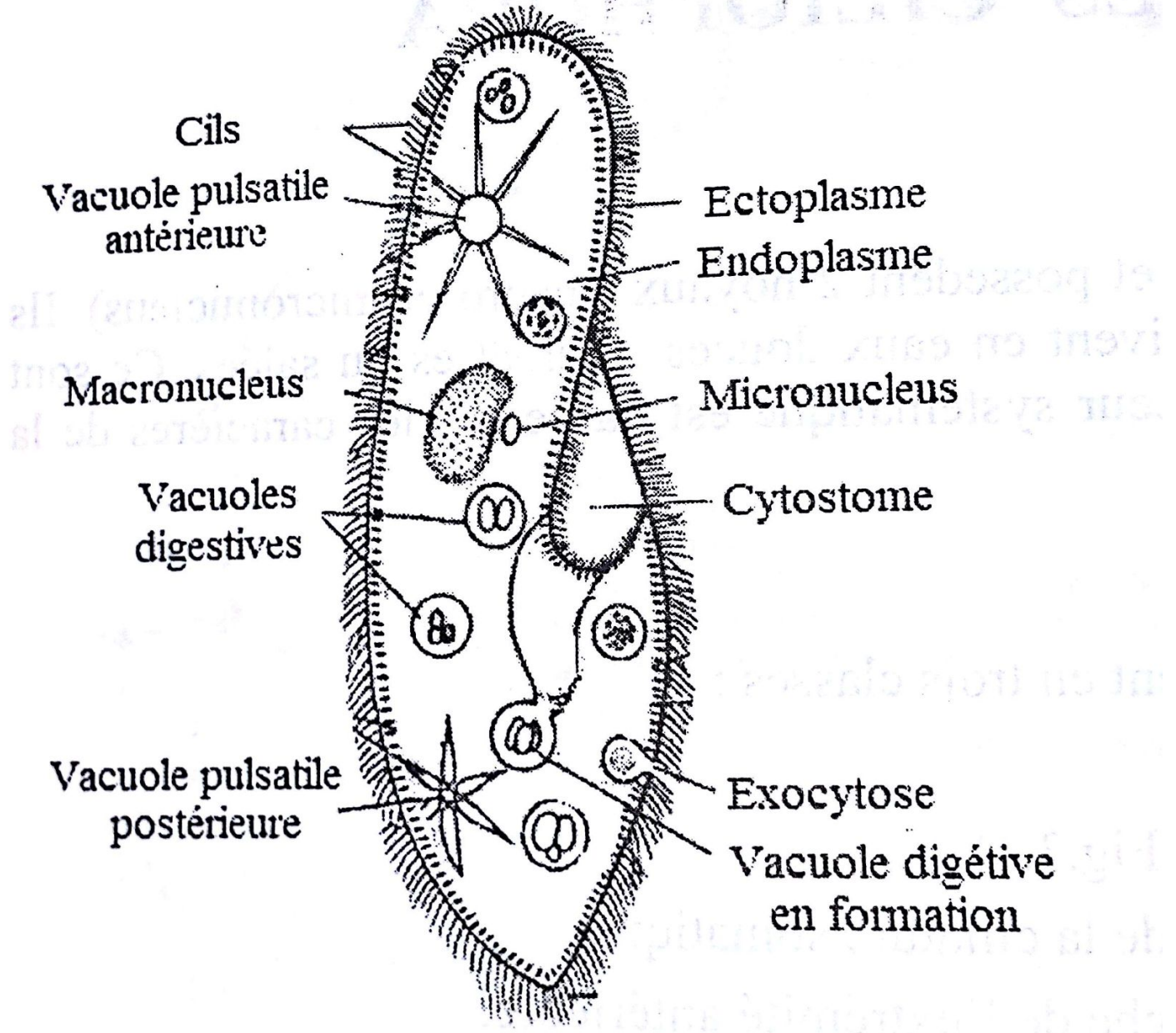
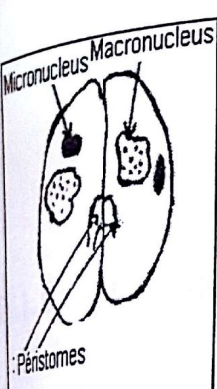
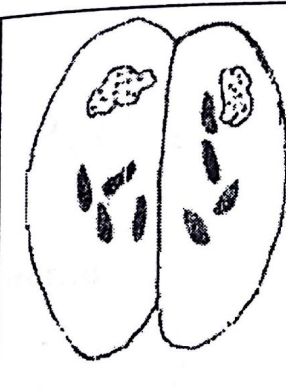
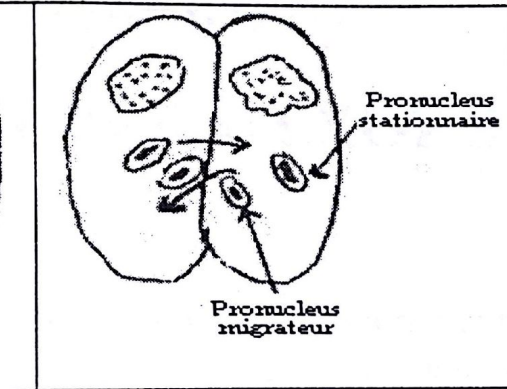
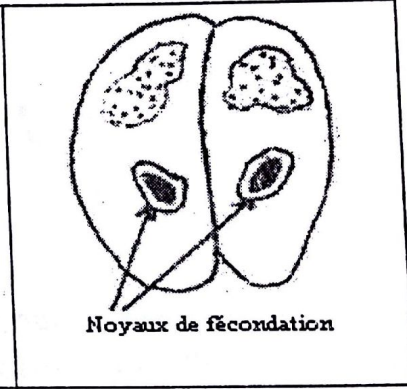


Figure 3.1. *Paramecium caudatum*  
(Oligohymenophorea) ✓

			
A	B	C	D
Accoulement des 2 conjungants par le cytostome (individus appartenant à la même espèce)	<p>Début de dégénérescence du macronucléus.</p> <ul style="list-style-type: none"> <li>- Micronucléus (<math>2n</math>) se gonfle.</li> <li>- Méiose du micronucléus.</li> <li>- Formation de 4 noyaux haploïdes.</li> </ul>	<ul style="list-style-type: none"> <li>- Dégénérescence des 3 micronucléus et division du 4<sup>ème</sup> micronucléus → Formation de 2 noyaux fils ou pronucléus : Pronucléus stationnaire et pronucléus migrateur</li> <li>- Echange des pronucléus migrants entre les deux conjungants.</li> </ul>	Fusion dans chaque conjungant des deux pronucléus (1 migrateur + 1 stationnaire) → Formation du noyau de conjugaison : syncaryon, diploïde.

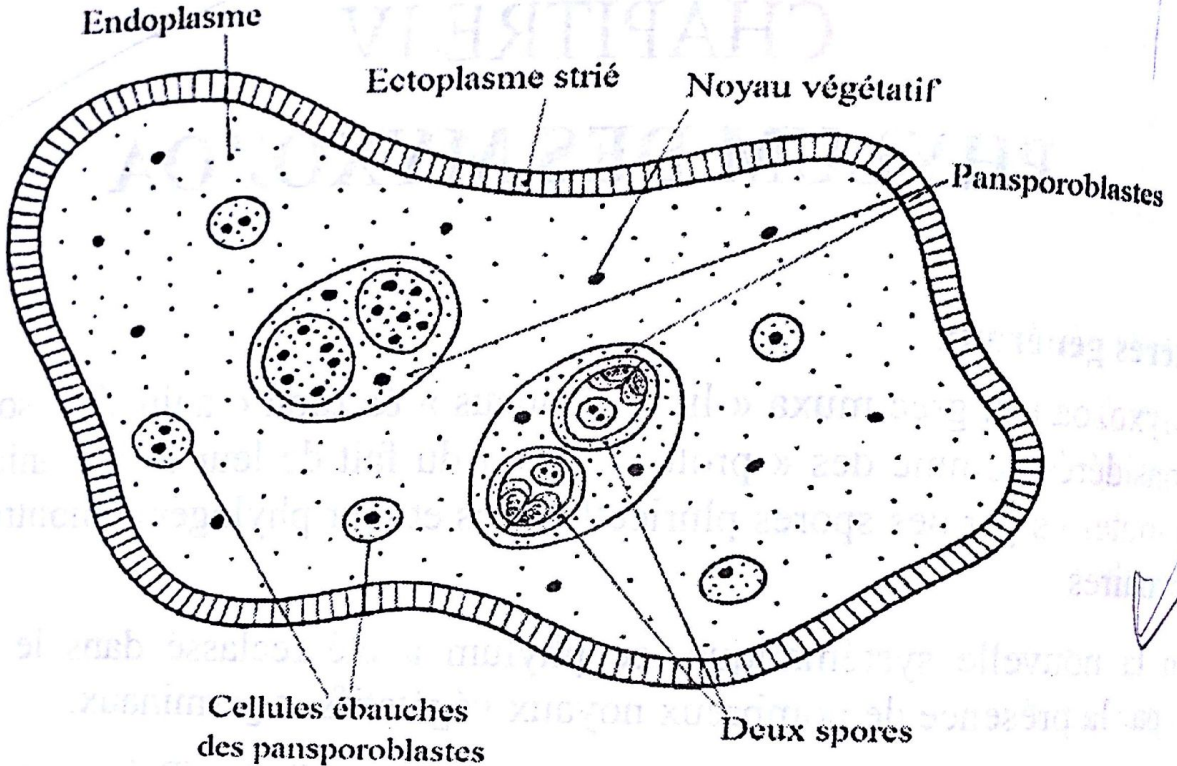


Figure 4.2. Plasmode avec formation de pansporoblastes (formés de deux spores).

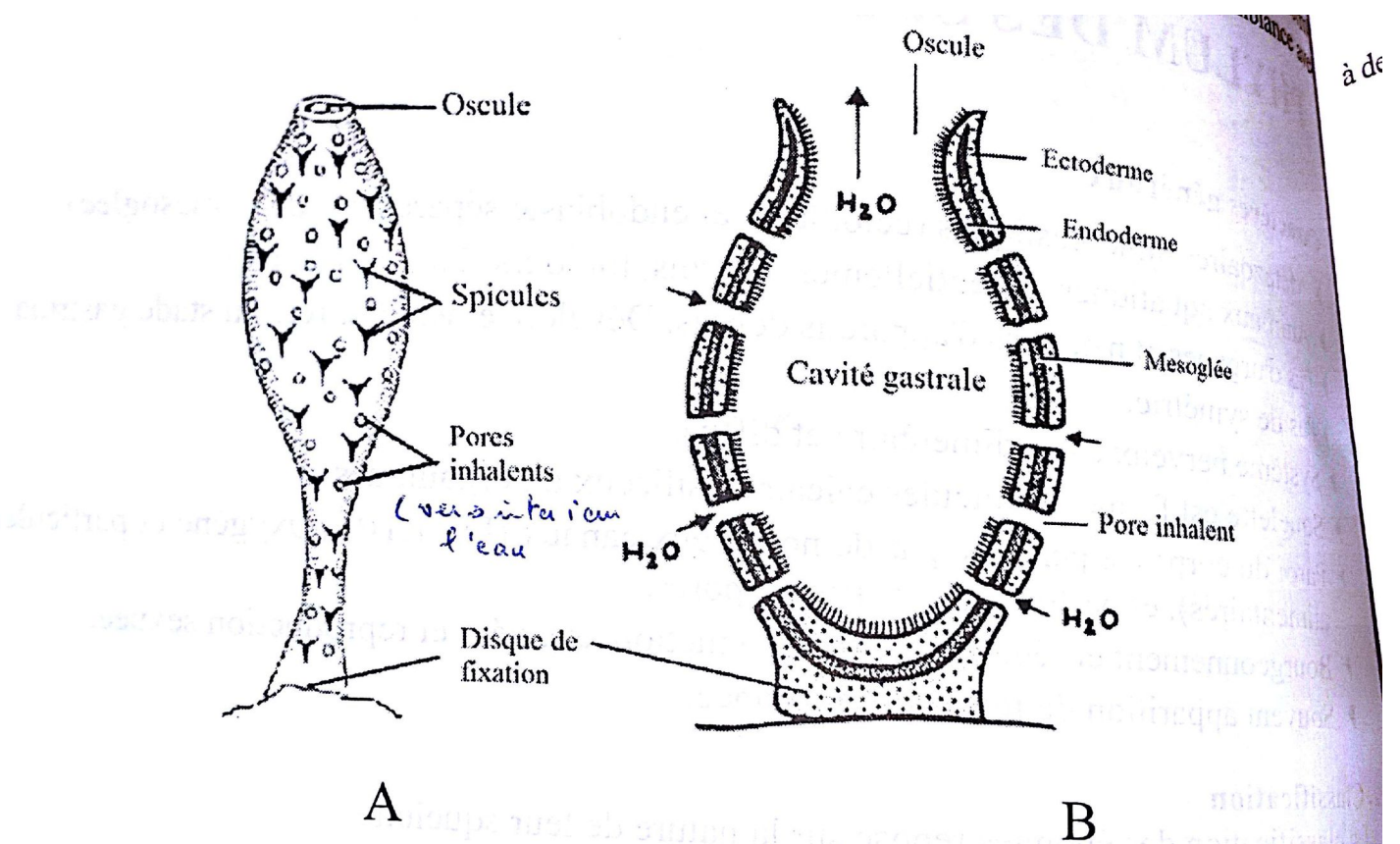


Figure 1.1. Morphologie externe d'une forme larvaire des éponges calcaires (A) et en coupe longitudinale (B).

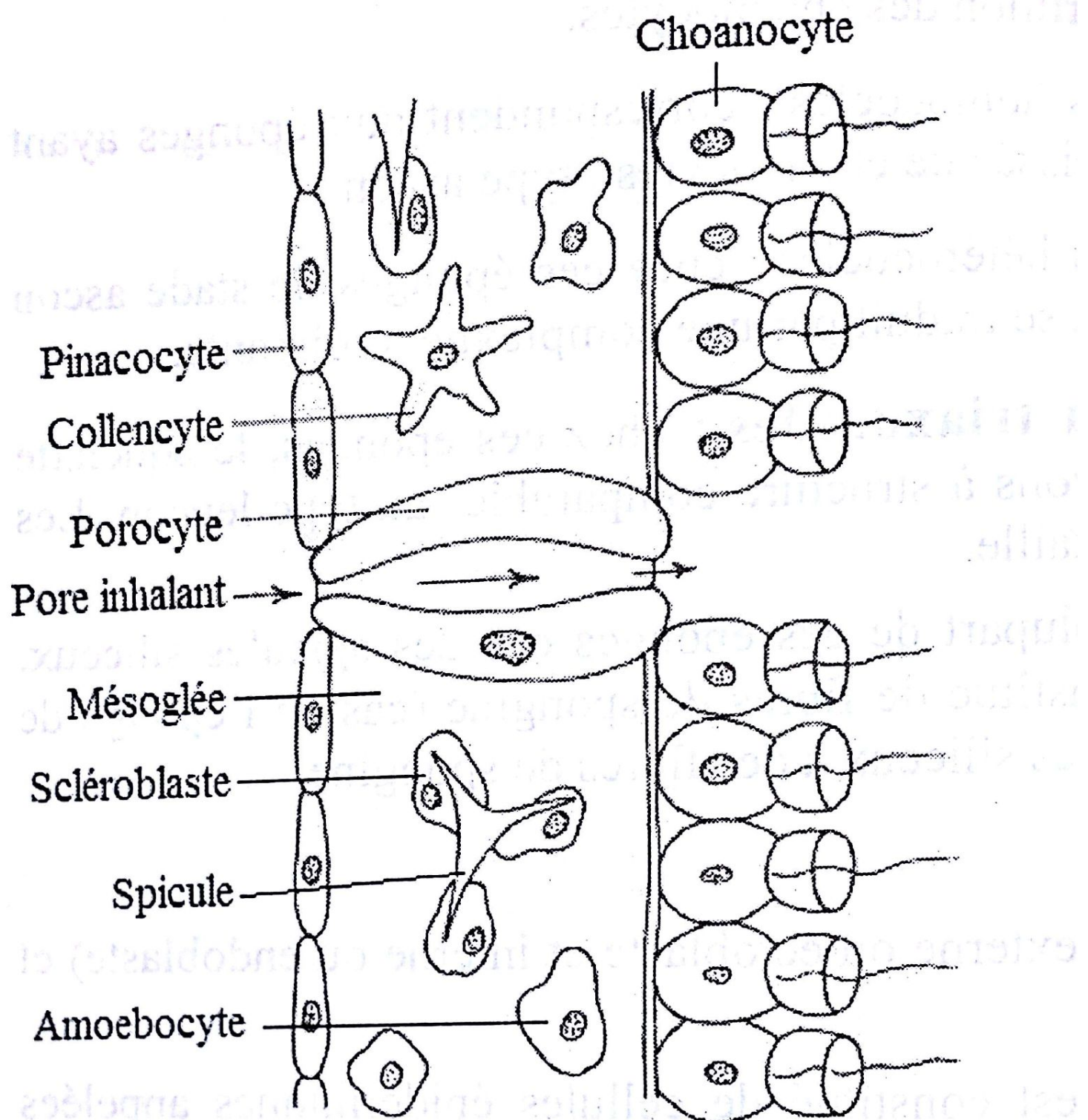


Figure 1.2. Structure de la paroi des Spongiaires.

## Reproduction sexuée

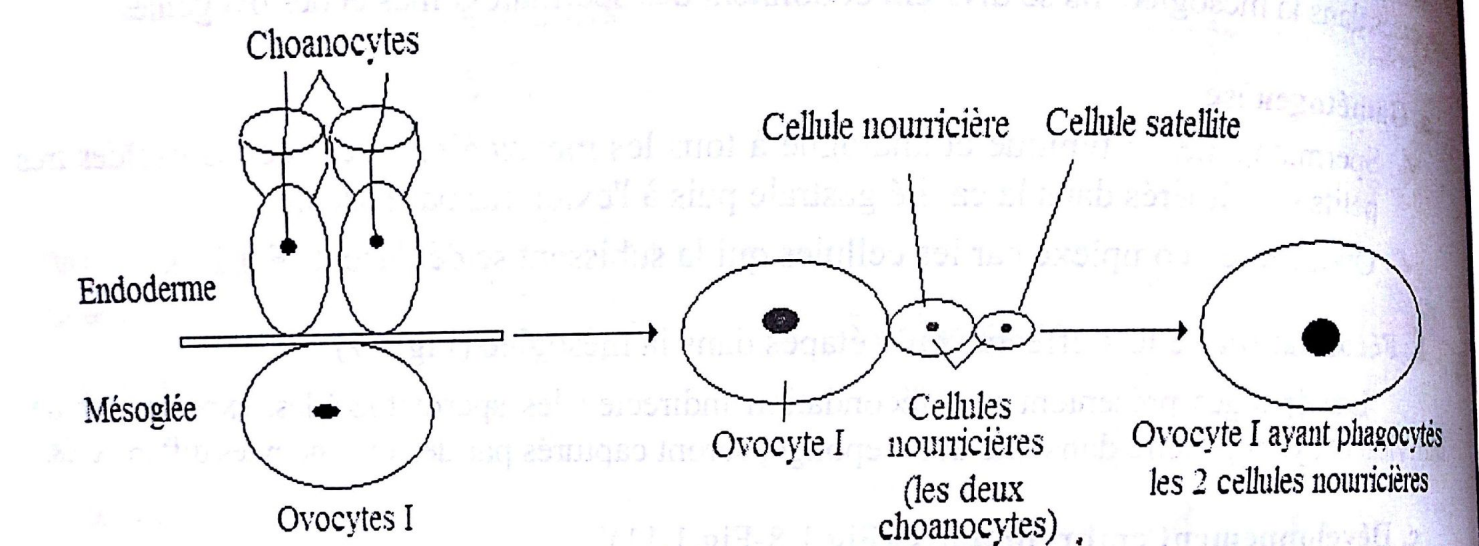


Figure 1.6. Différentes étapes de l'ovogénèse

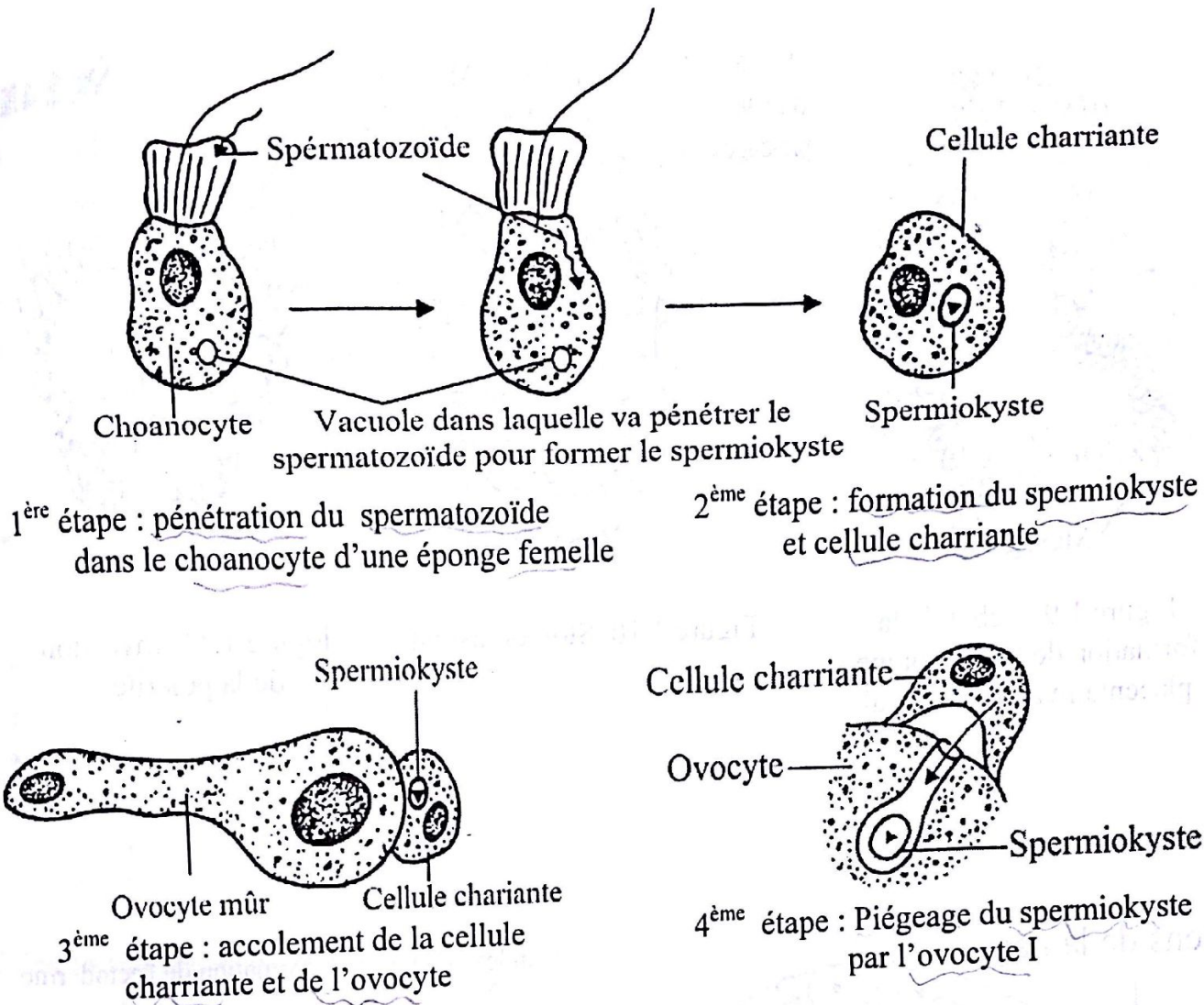


Figure 1.7. Différentes étapes de la fécondation.

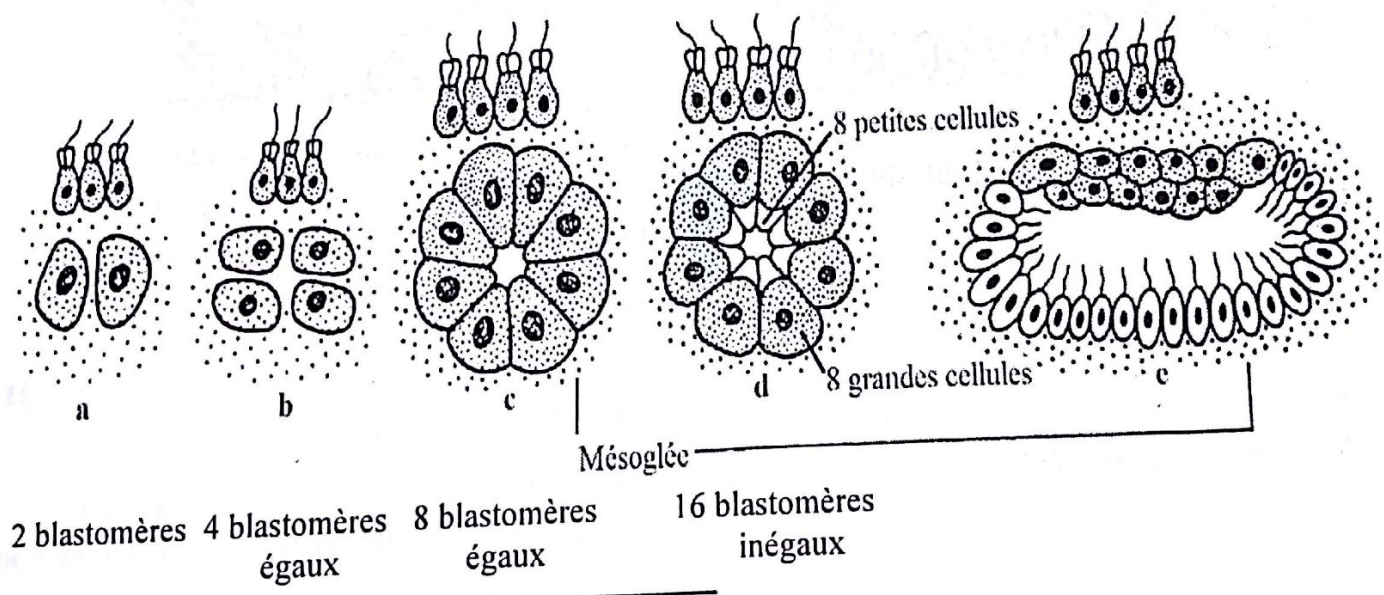


Figure 1.8. Début du développement embryonnaire de *Sycon raphanus*. Segmentation : a, b et c : 3 premières division égales ; d : 4<sup>ème</sup> division inégale ; e : blastula.

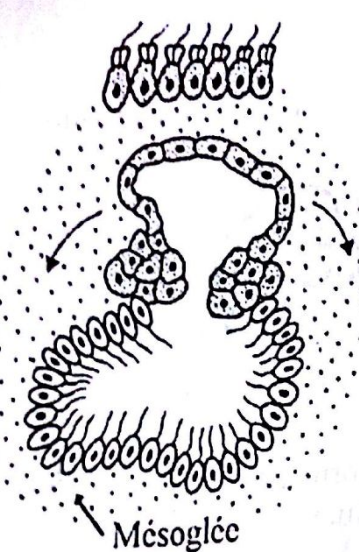


Figure 1.9. Début de la formation de la membrane placentaire au pôle apical

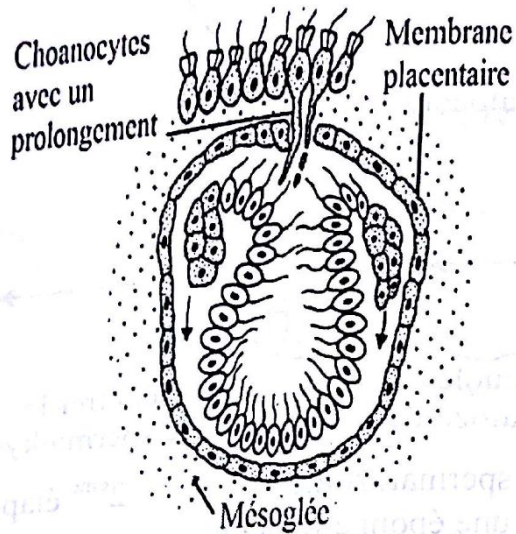


Figure 1.10. Stomoblastula

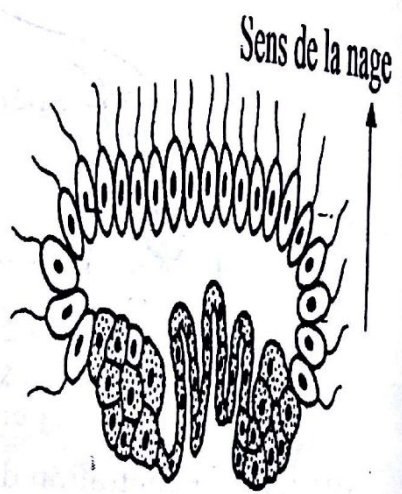


Figure 1.11. Inversion de la polarité

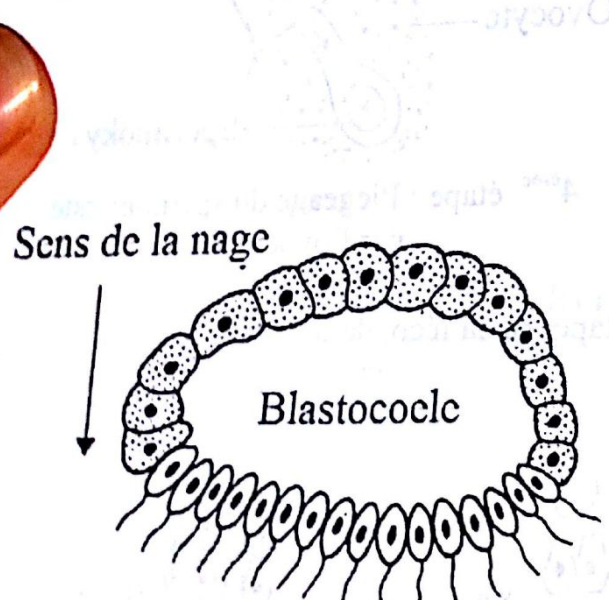


Figure 1.12. Amphiblastula

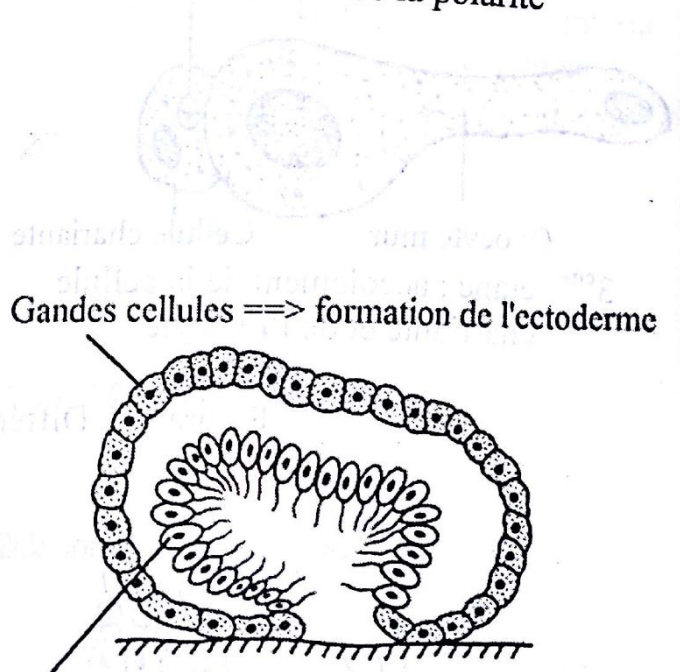


Figure 1.13. Fixation et gastrulation (par embolie) de la larve de *Sycon raphanus*

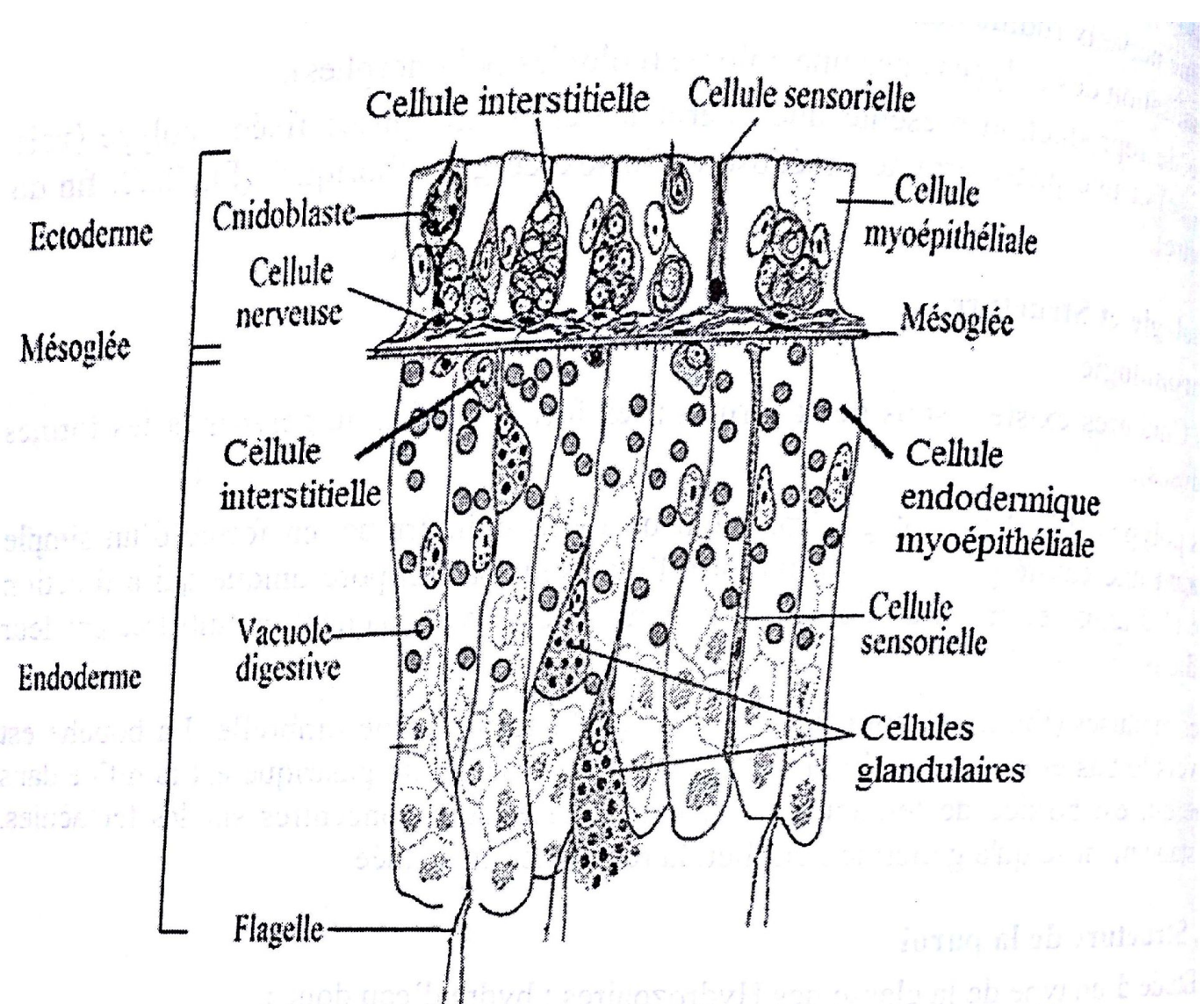


Figure 2.2. Structure histologique de la paroi de l'hydre. ✓

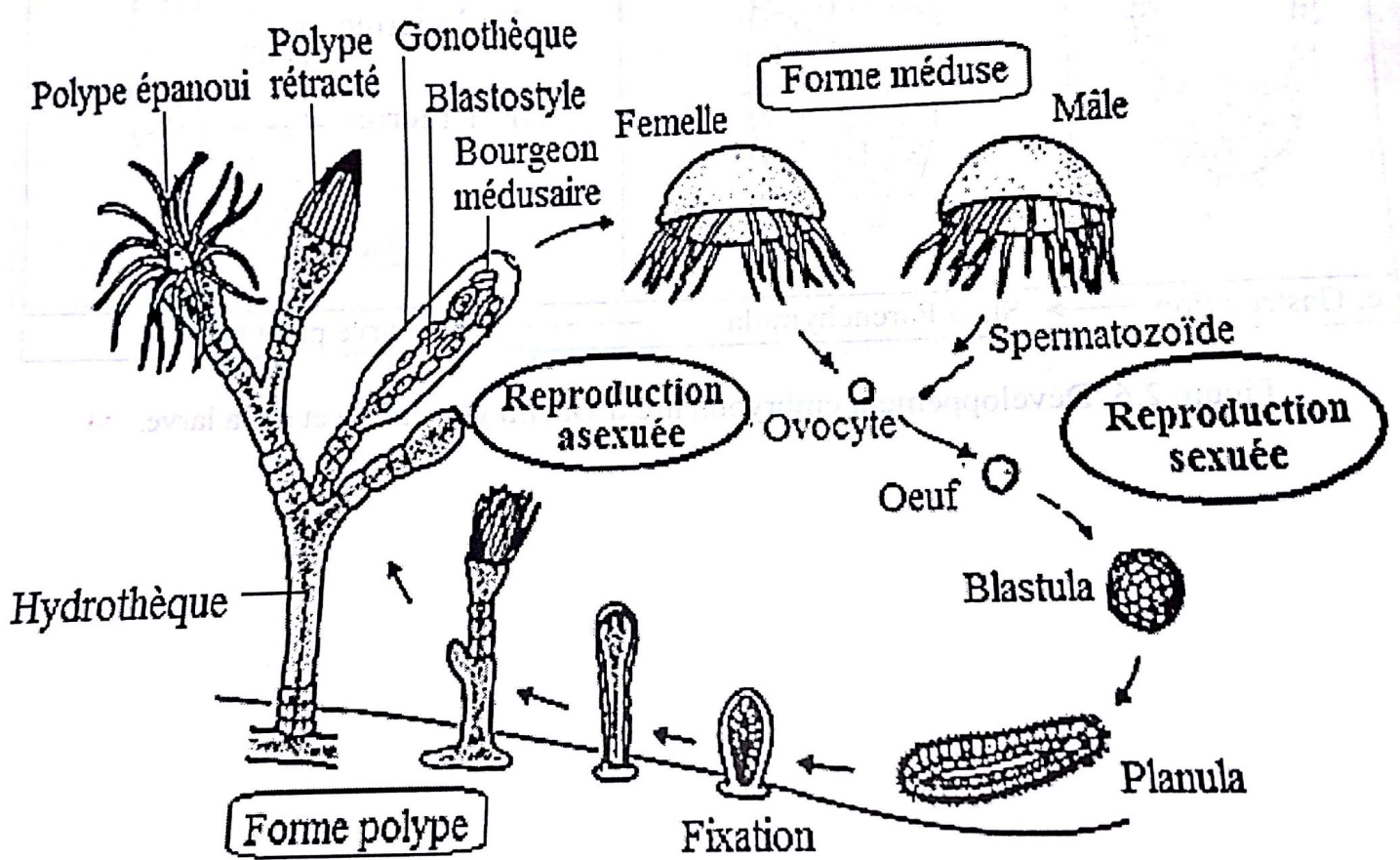


Figure 2.5. Cycle de développement d'*Obelia geniculata*. ✓

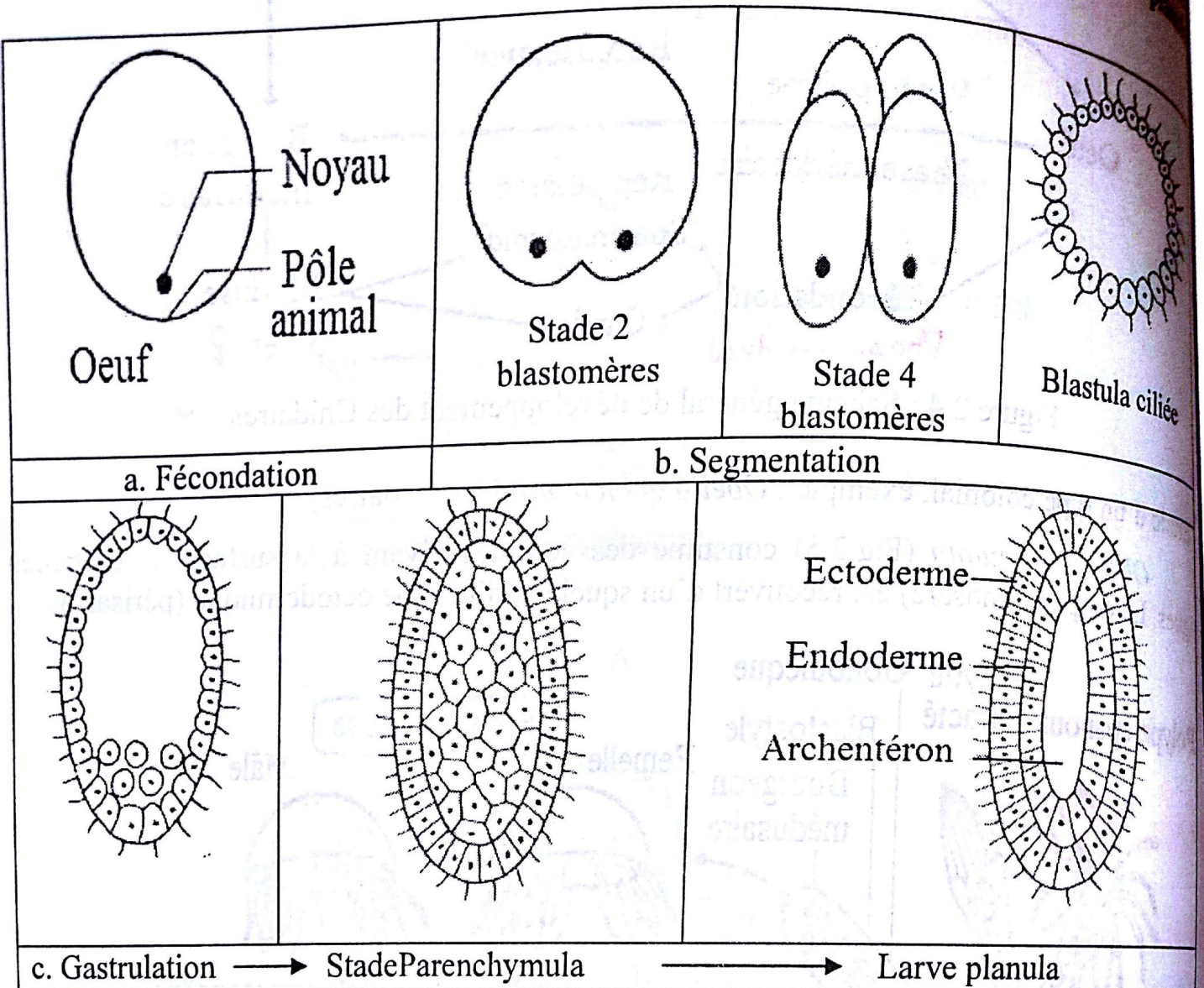
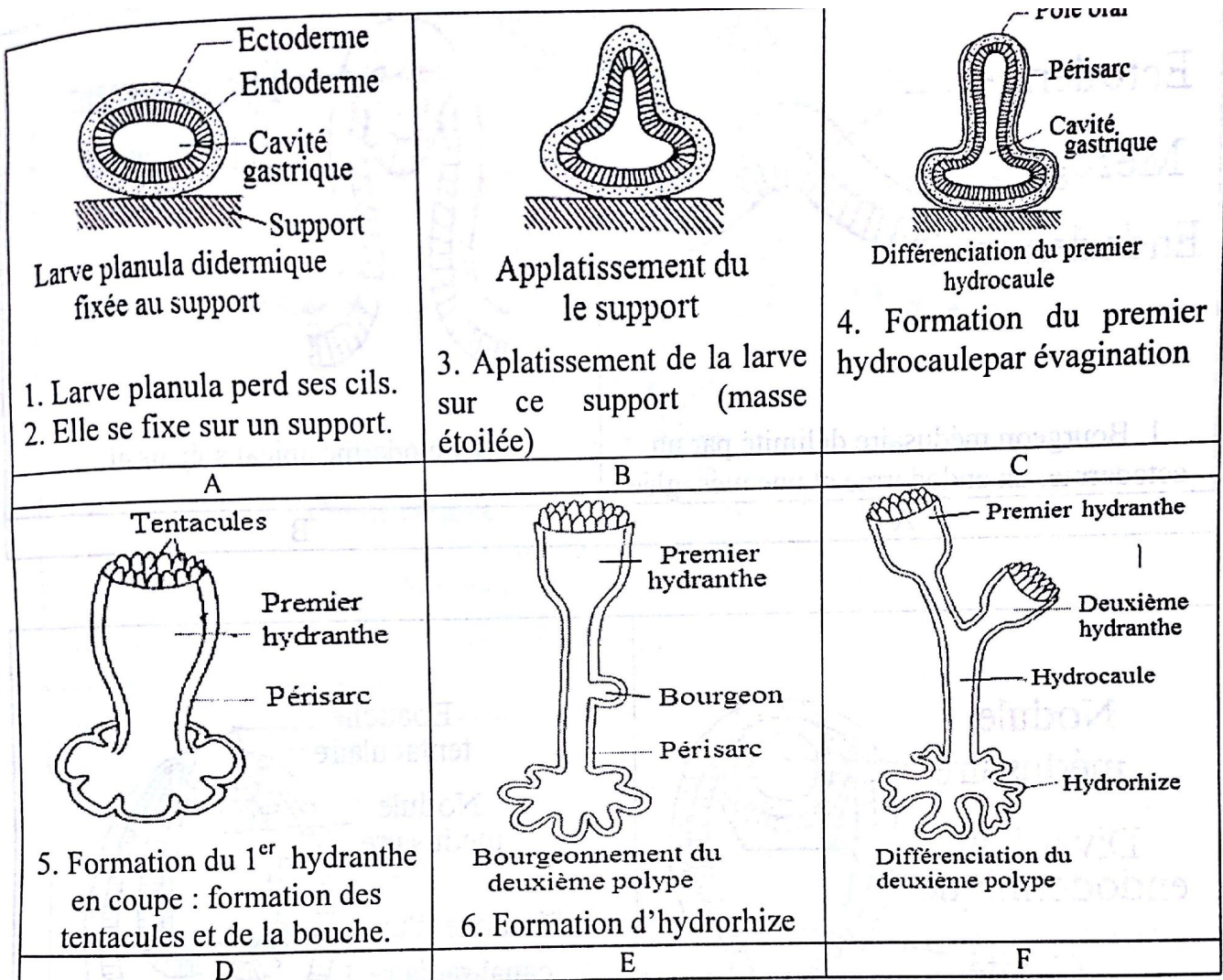
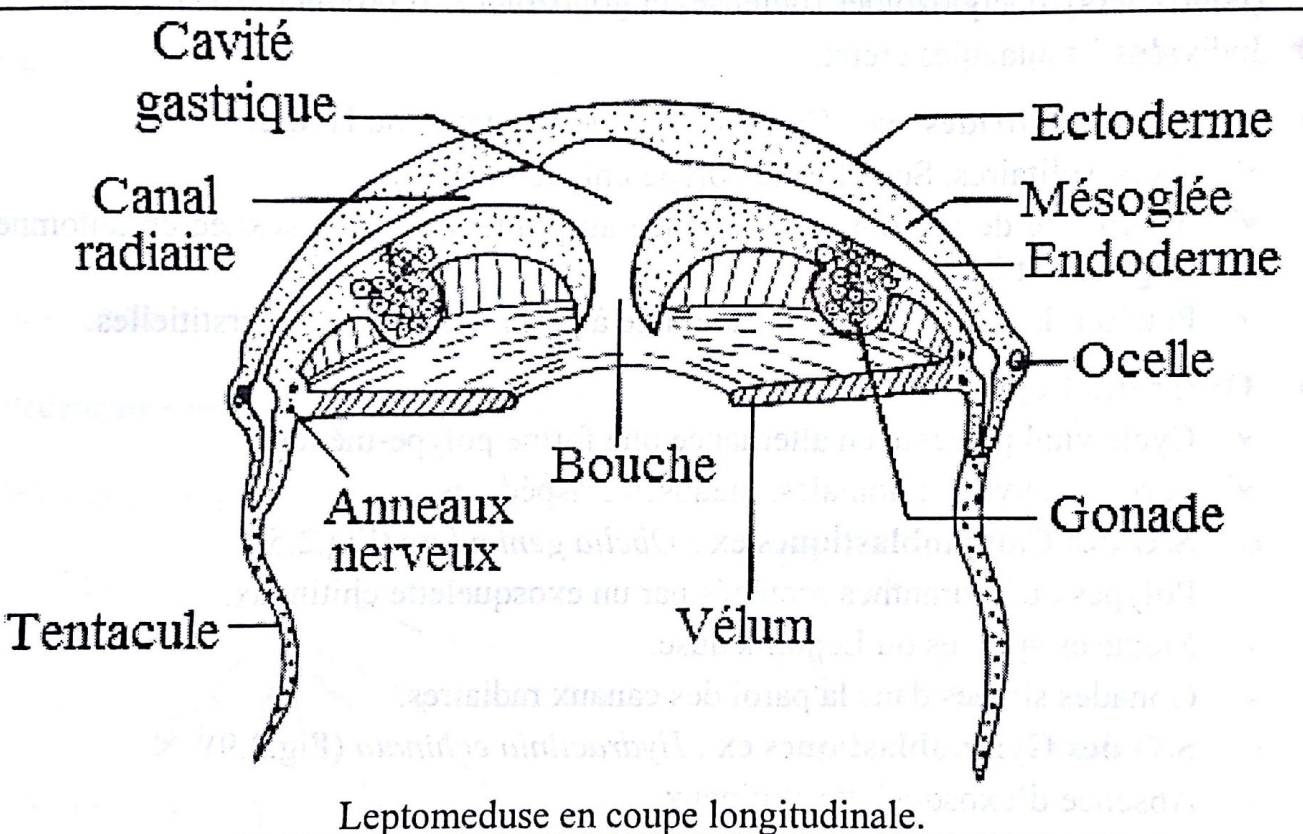


Figure 2.6. Développement embryonnaire d'*Obelia geniculata* et de la larve. ↘



✓ Figure 2.7. Cycle évolutif d'*Obelia geniculata* : Phase polype.



Leptomeduse en coupe longitudinale.

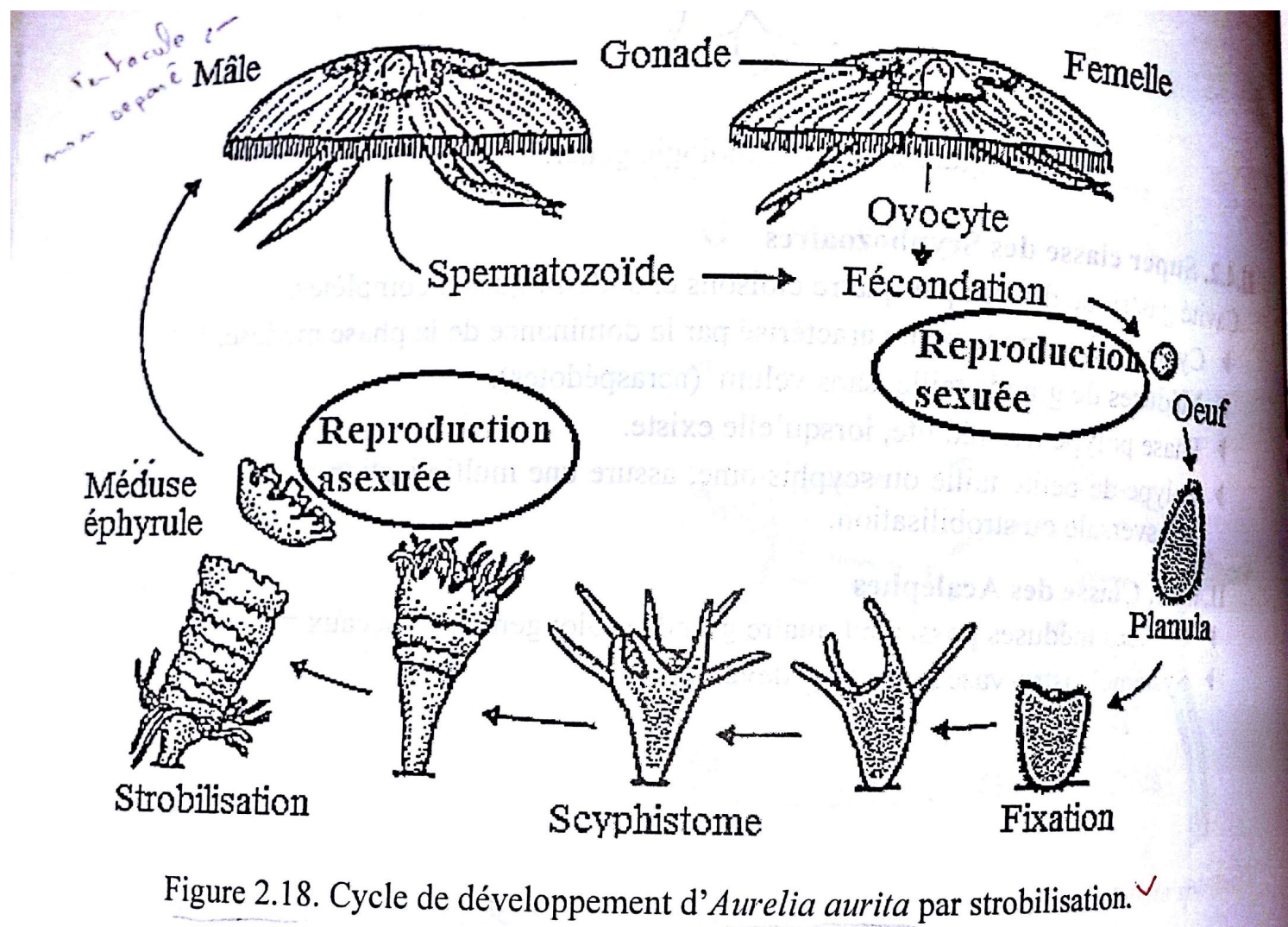
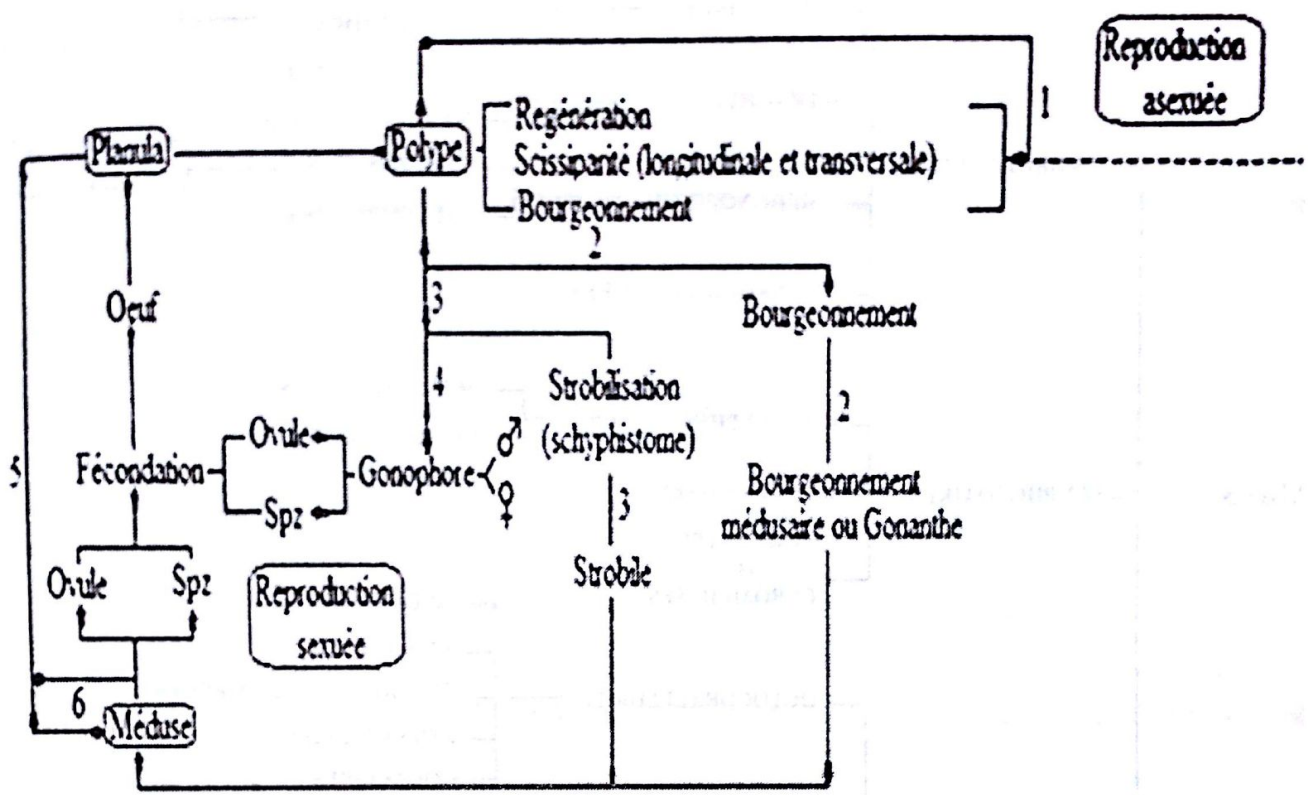


Figure 2.18. Cycle de développement d'*Aurelia aurita* par strobilisation. ✓



1: Toutes les espèces comportant la forme polype (Ex: *Chlorhydrus* - *Obelia* - *Haliplasma* - *Sargassum*

2: *Obelia geniculata* (Cl. des Hydratres)

3: *Aurelia aurita* (Cl. des Acalephes)

4: Ex: *Chlorhydrus viridissima* S Cl. Anthozoaires

5: Cl. Trachyfides

6: *Sarsia siphonophora* (Cl. Hydratres à phase méduse dominante)

Figure 2.22. Les différents cycles de reproduction asexuée et sexuée chez les Cnidaires.

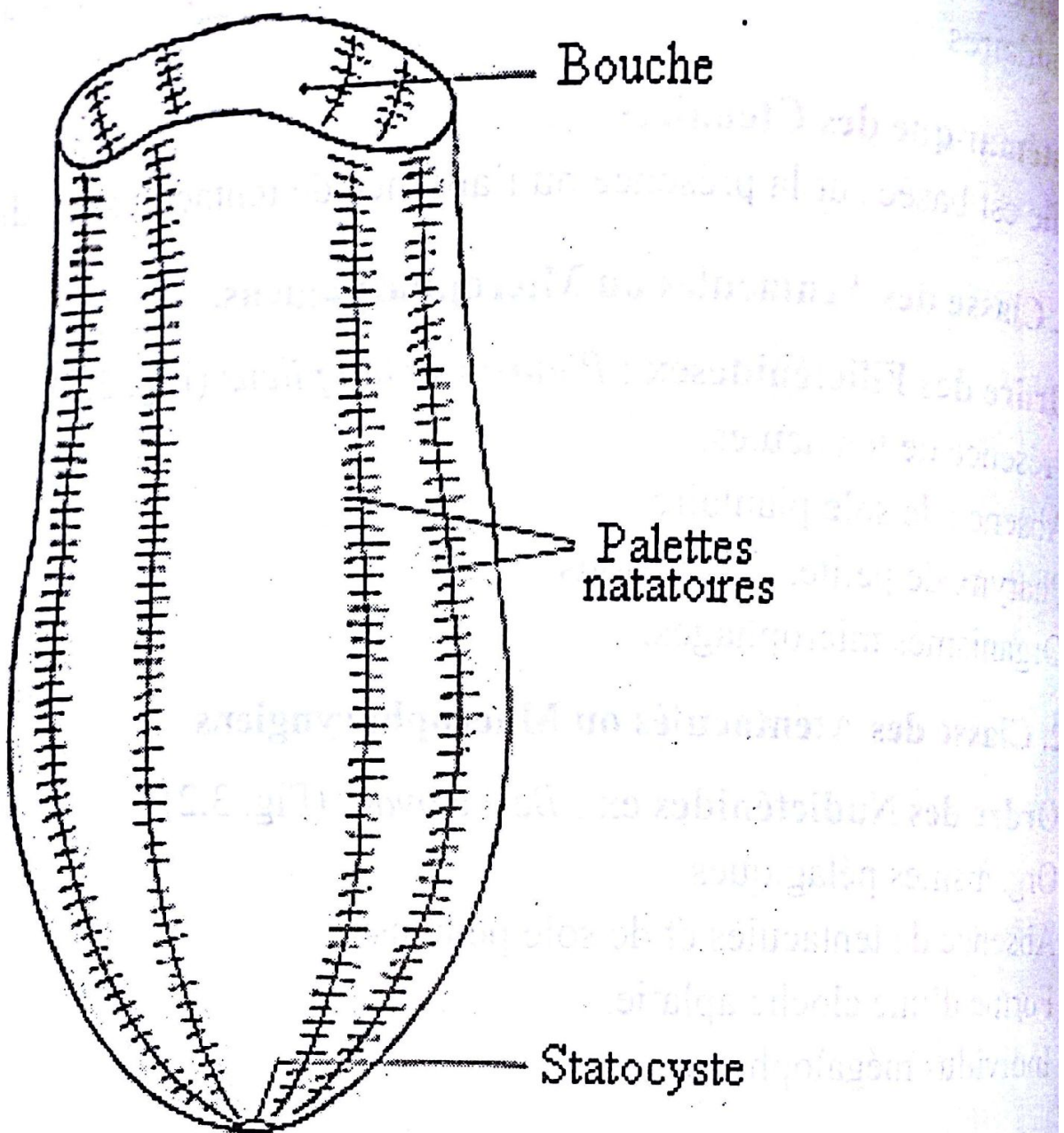


Figure 3.2. Morphologie générale de *Beroe ovata* (Cténaire atentaculé).

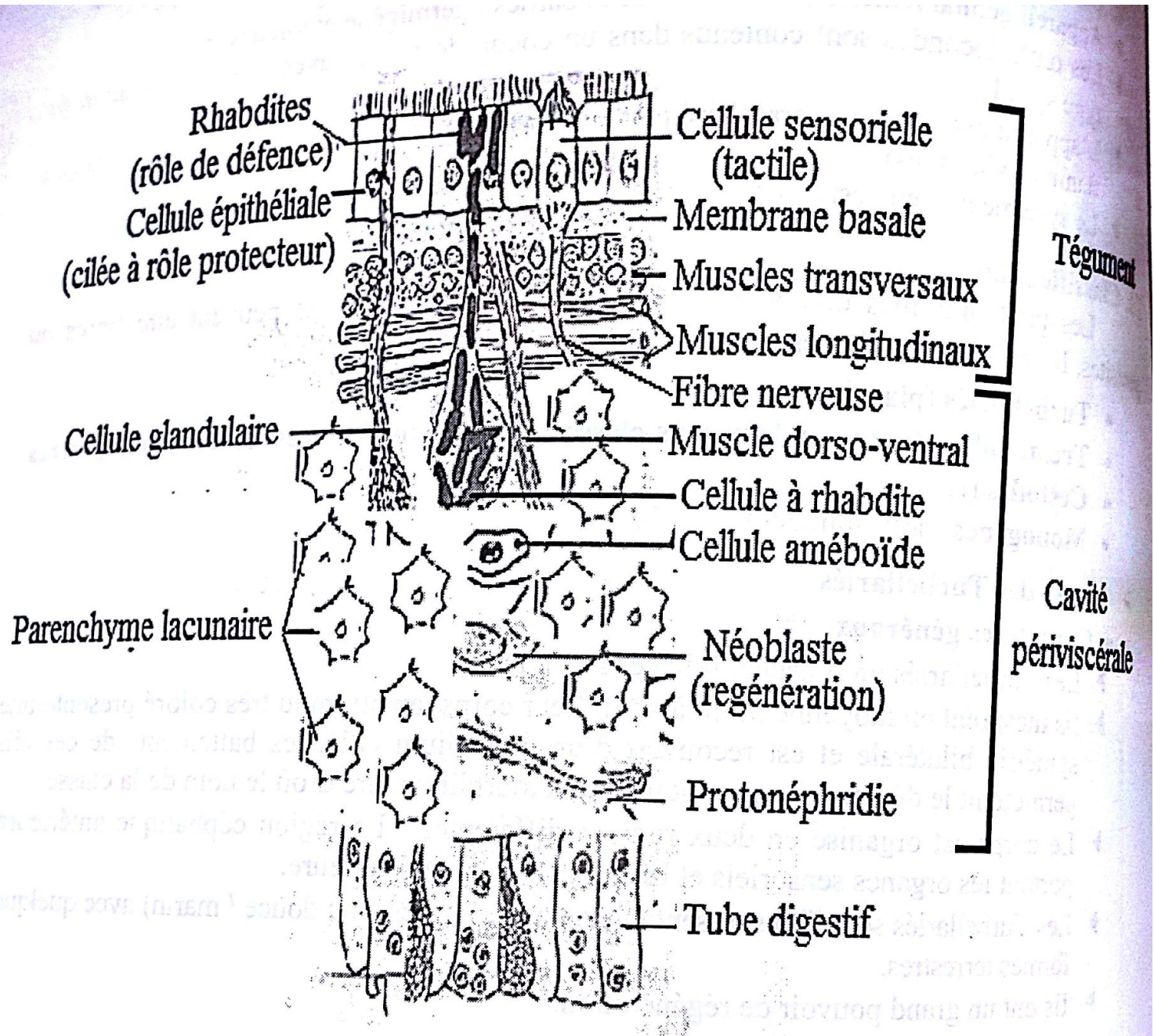


Figure 1.2. Structure histologique du tégument d'un turbellarié. ✓

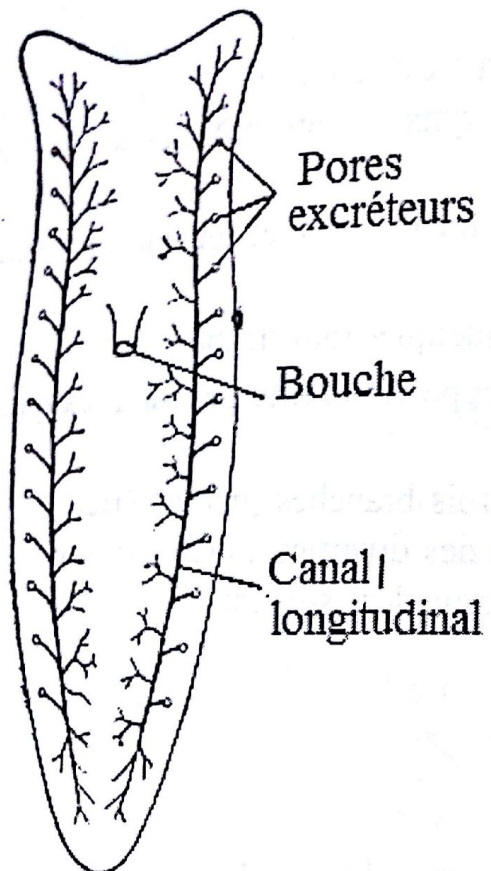


Figure 1.4. Appareil excréteur d'un *Plathelminthe*.  
Turbellarié.

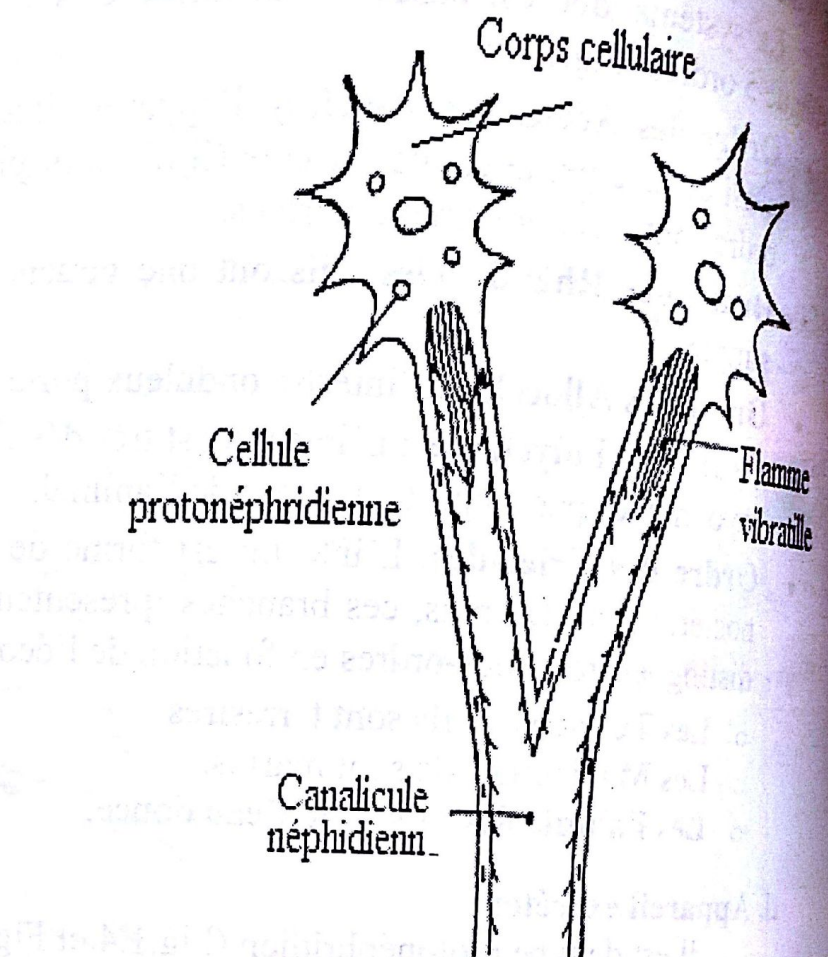


Figure 1.5. Protonéphridie d'un Turbellarié.

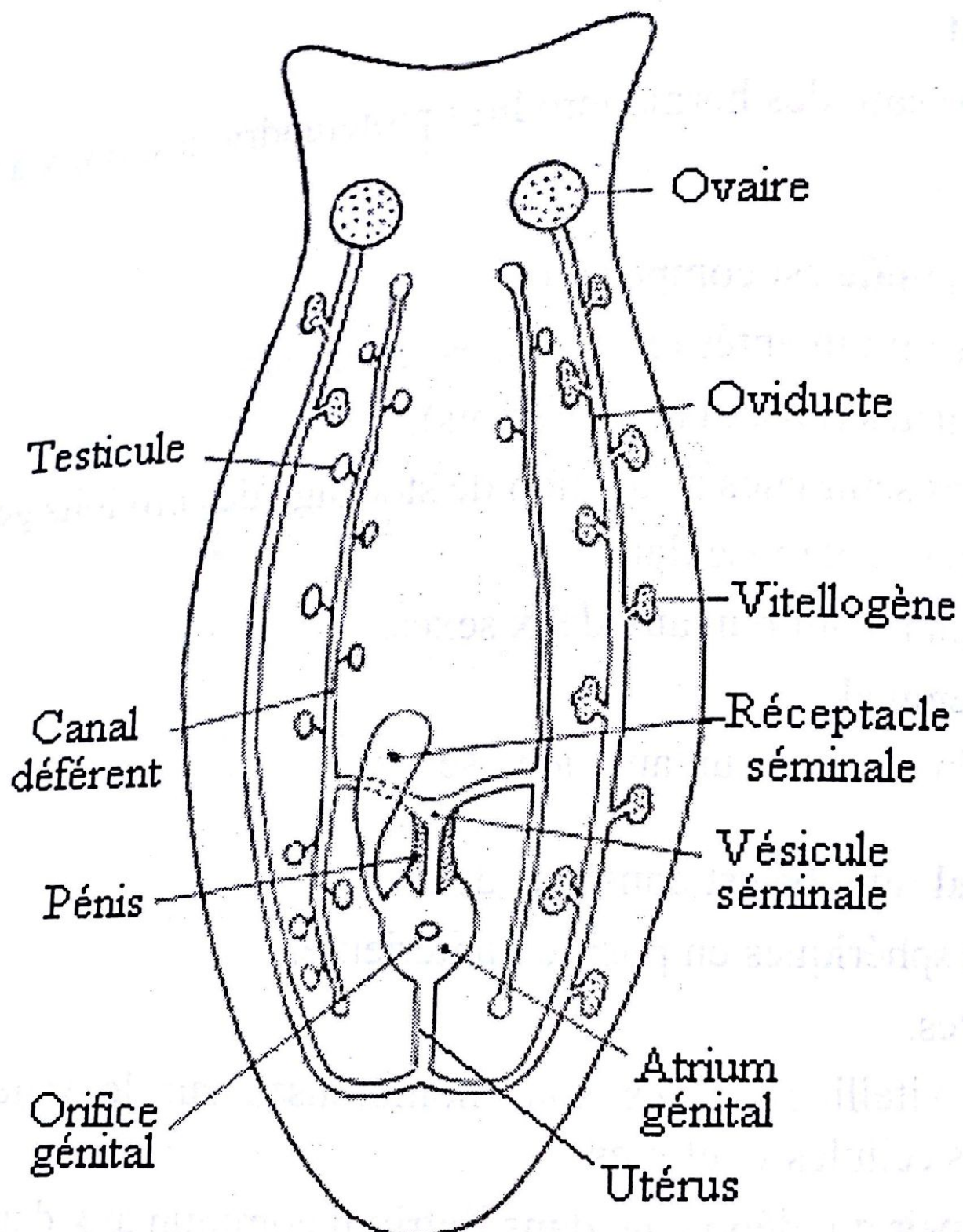


Figure 1.6. Appareil génital d'un Turbellarié. ✓

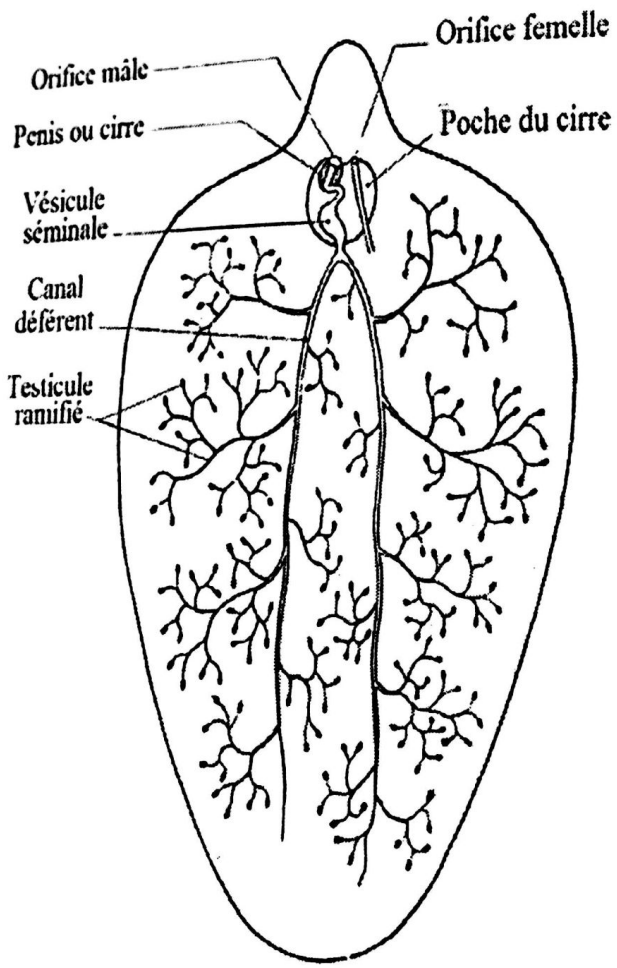


Figure 1.10. Appareil génital mâle d'un Digène.

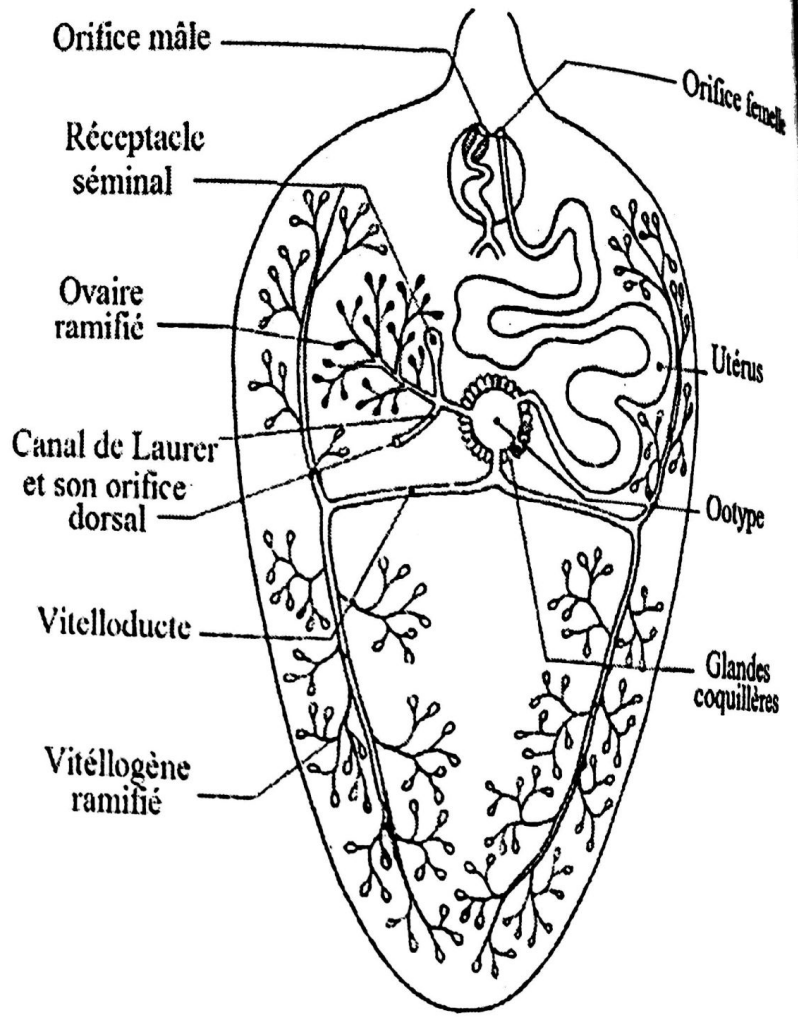
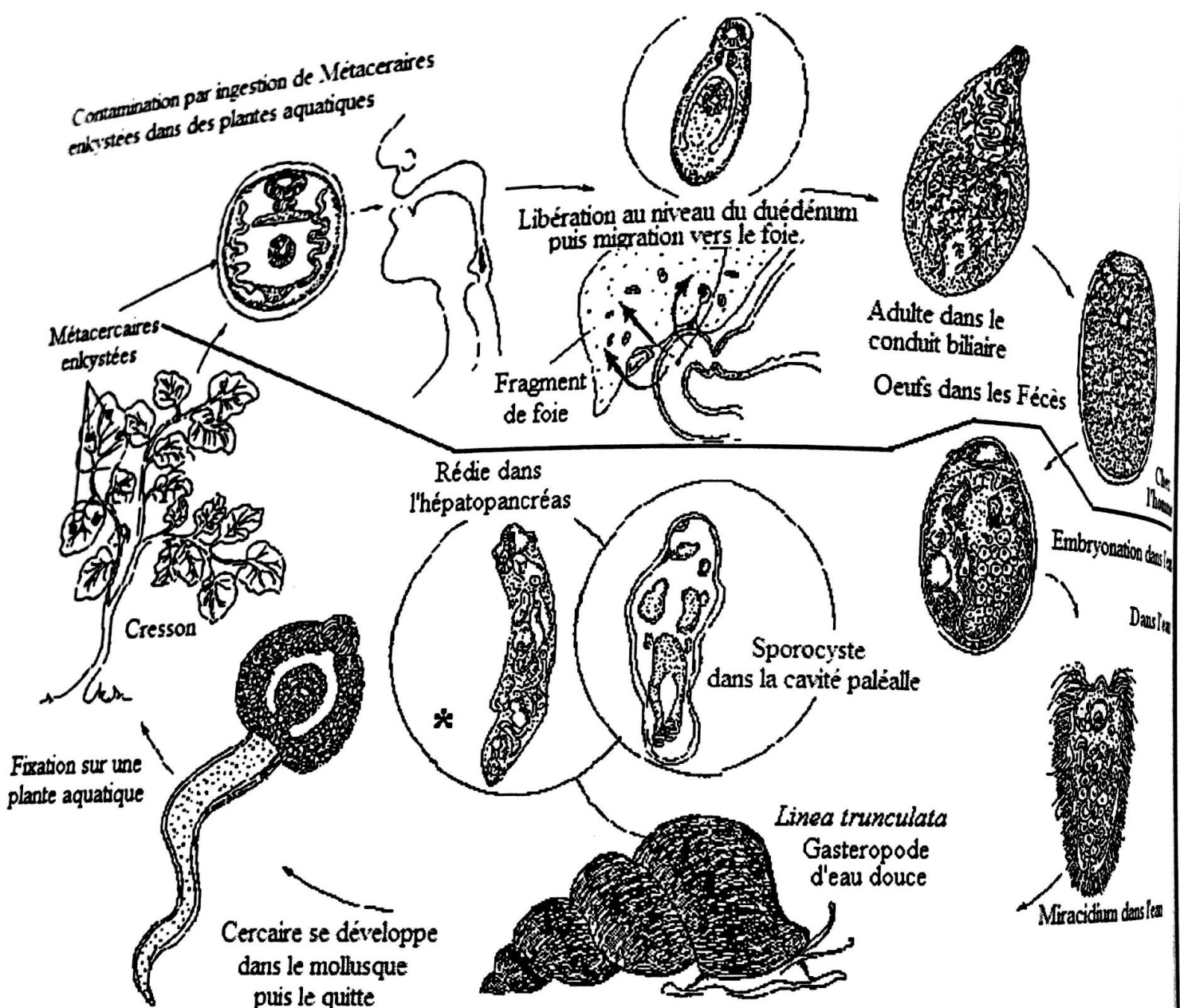


Figure 1.11. Appareil génital femelle d'un Digène.



✓ Figure 1.12. Cycle de développement de *Fasciola hepatica*

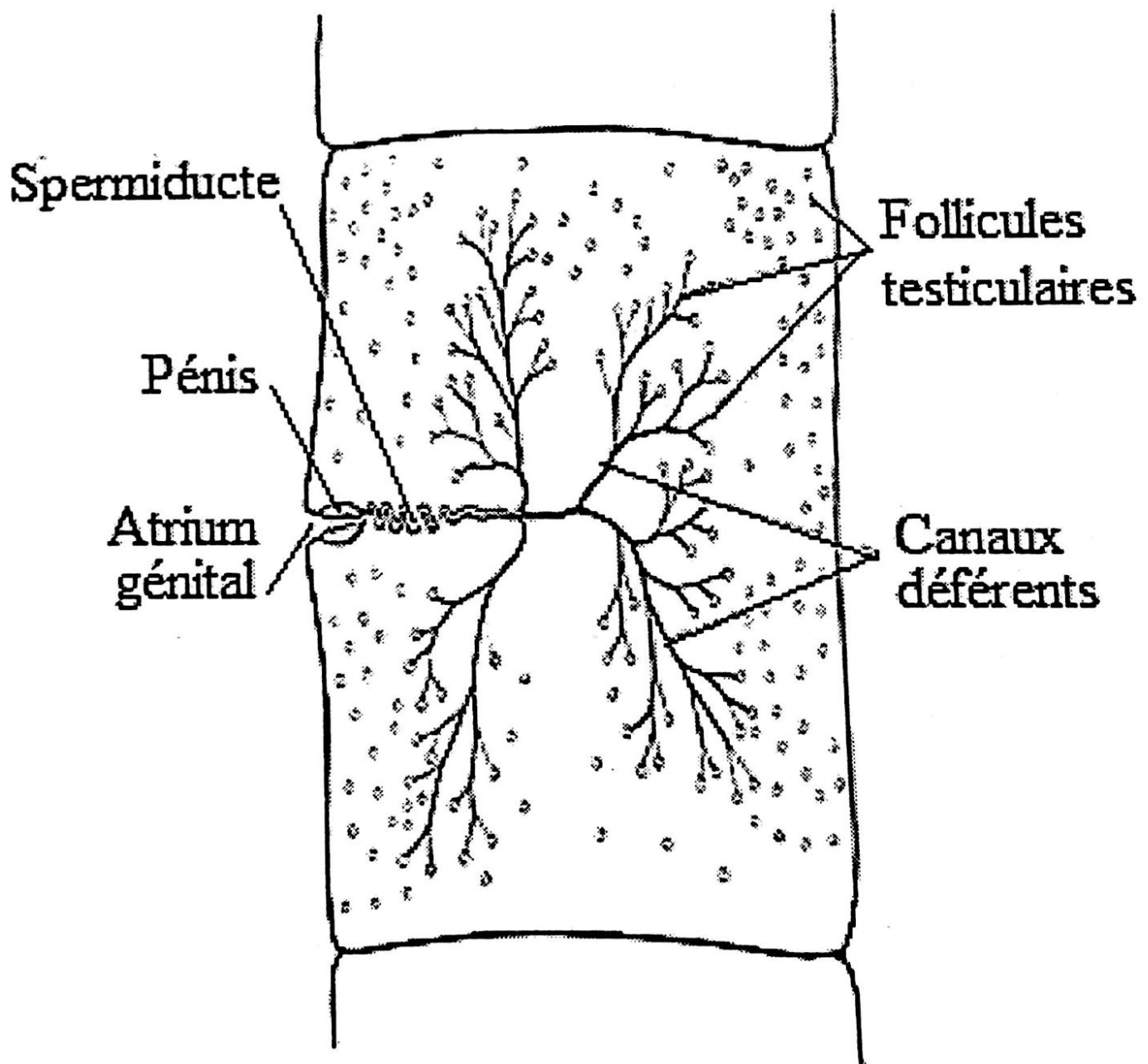


Figure 1.16. Appareil génital mâle d'un Cestode

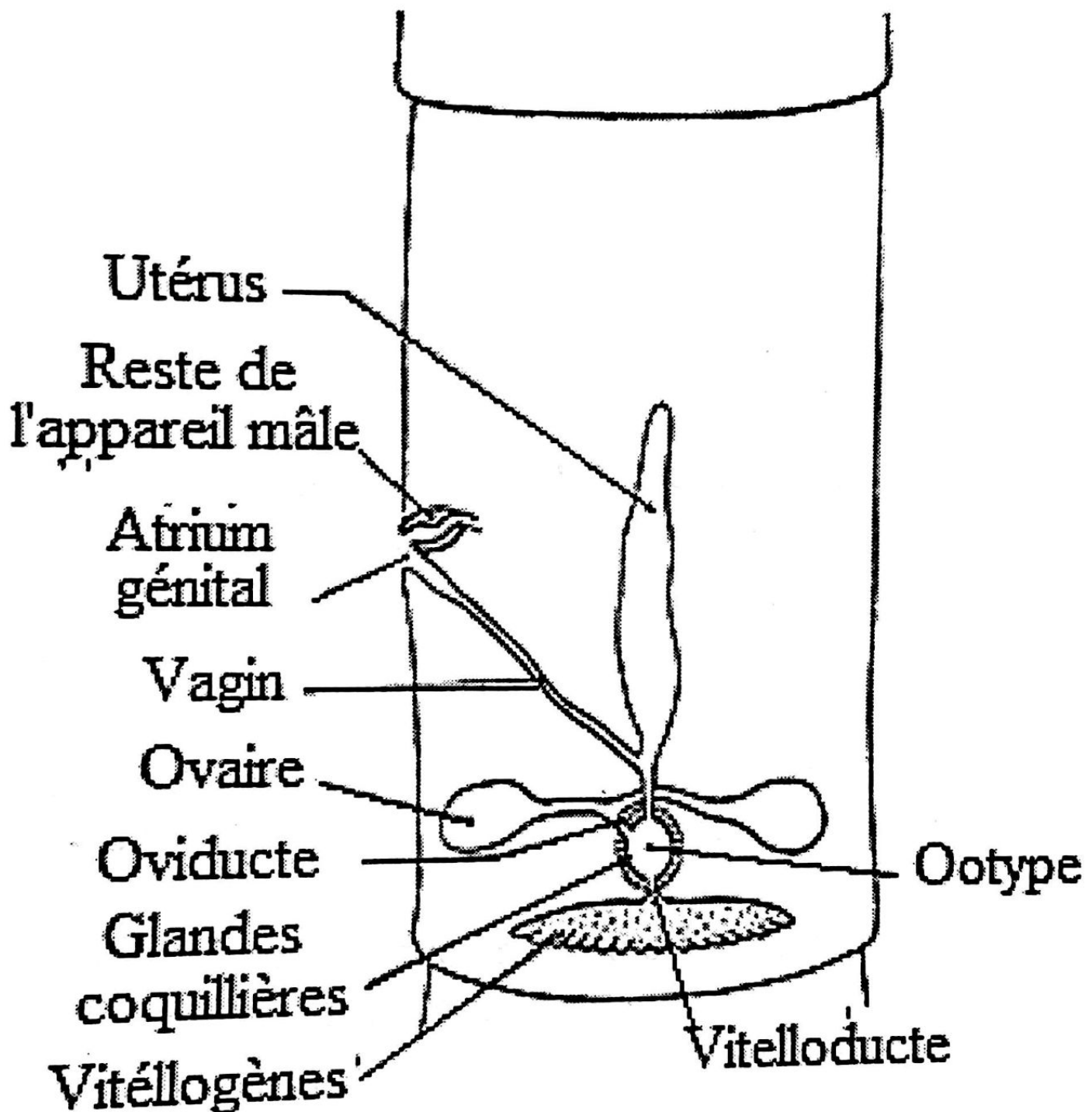
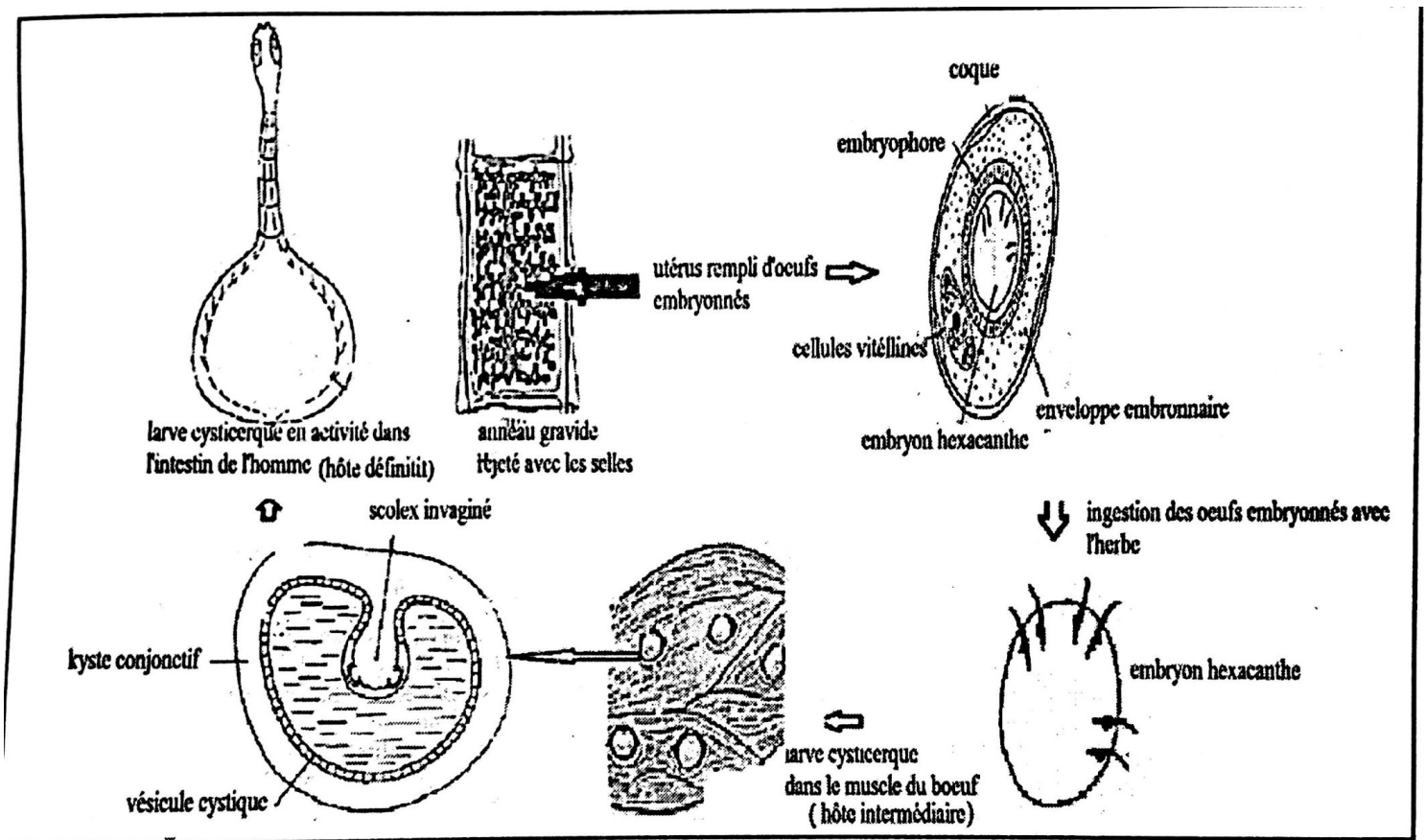
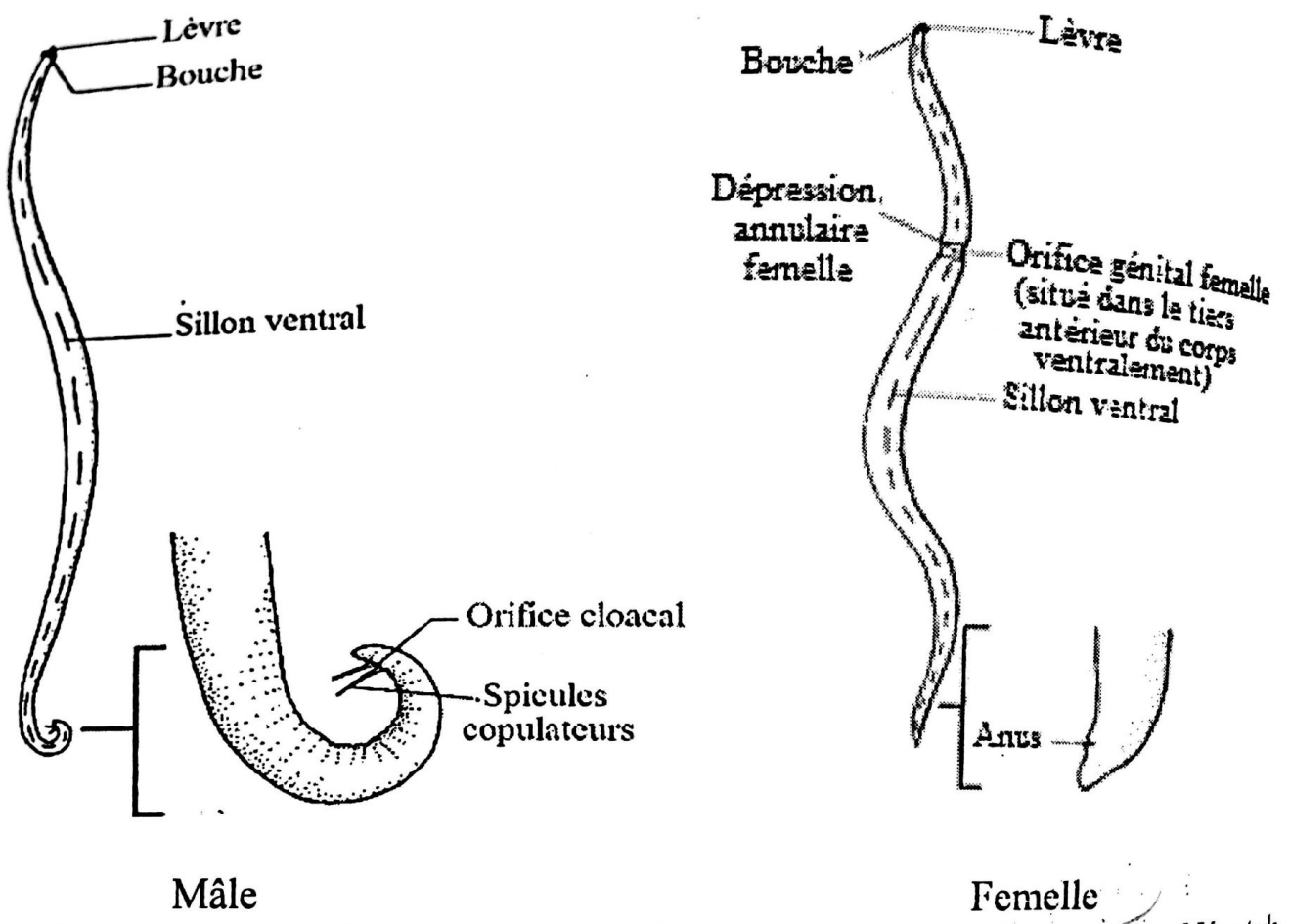


Figure 1.17. Appareil génital femelle d'un Cestode.



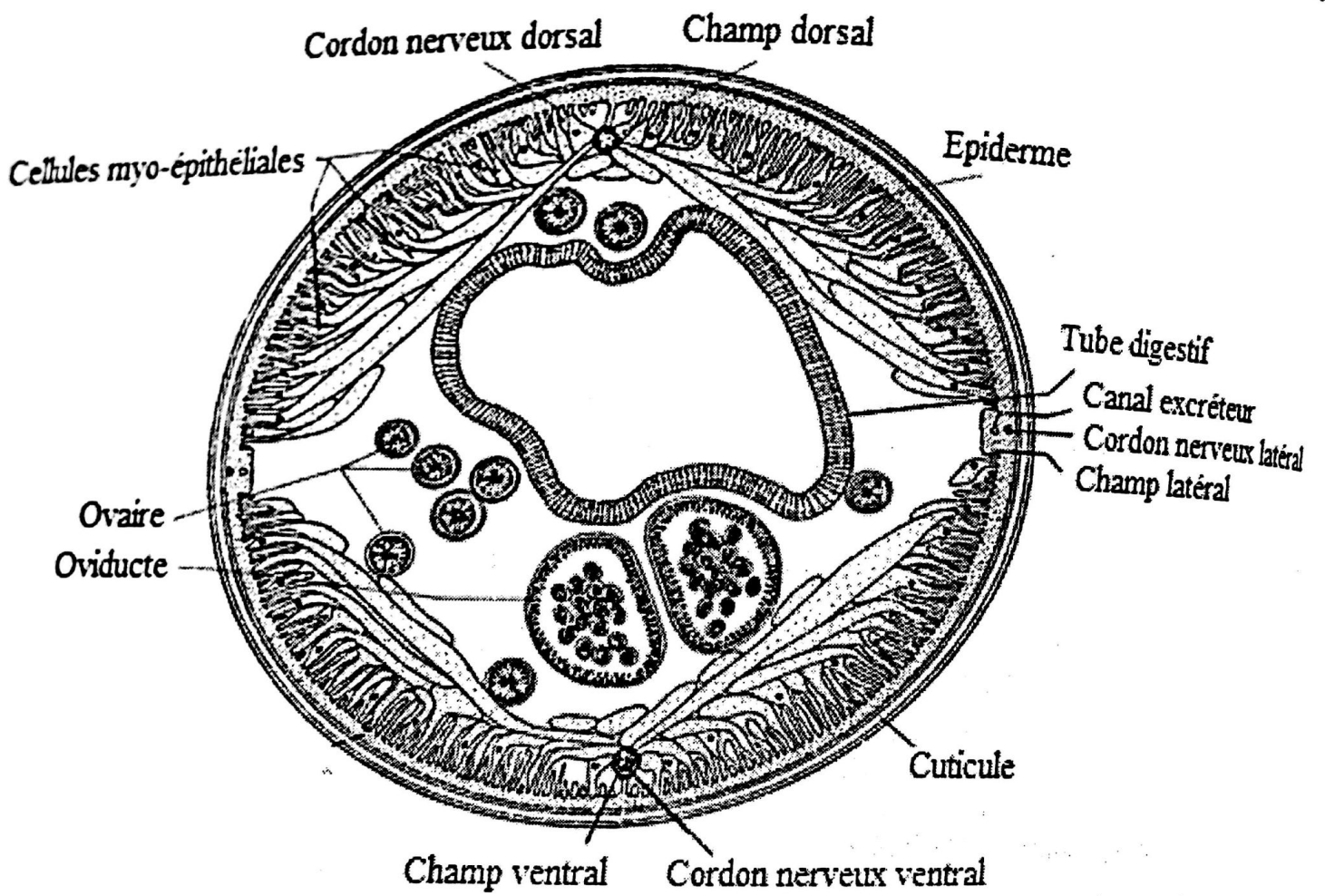
✓ Figure 1.18. Cycle de développement du *Taenia saginata*



Mâle

Femelle

Figure 2.1. Morphologie et dimorphisme sexuel chez le mâle et la femelle d'un Nématode.



✓ Figure 2.2. Coupe transversale d'un Nématode.

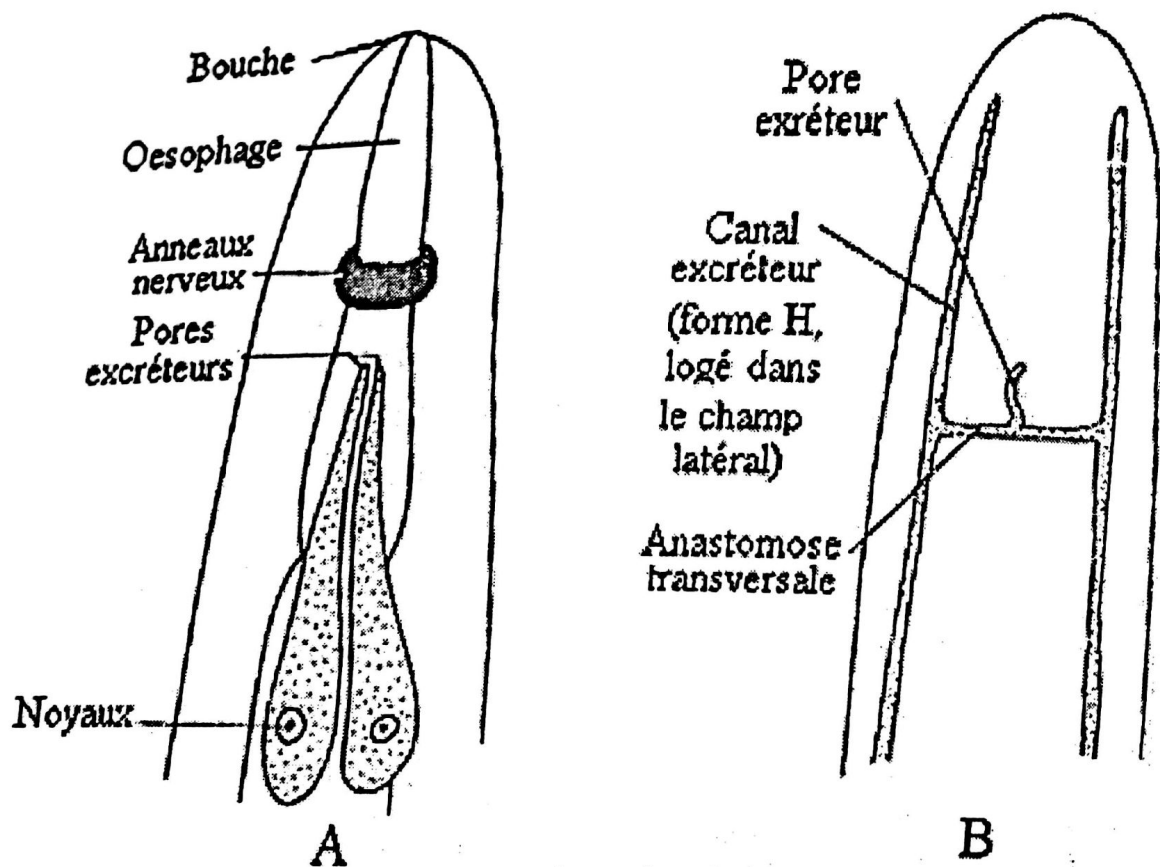


Figure 2.4. Appareil excréteur d'un Nématode (A : type glandulaire, B : type tubulaire).

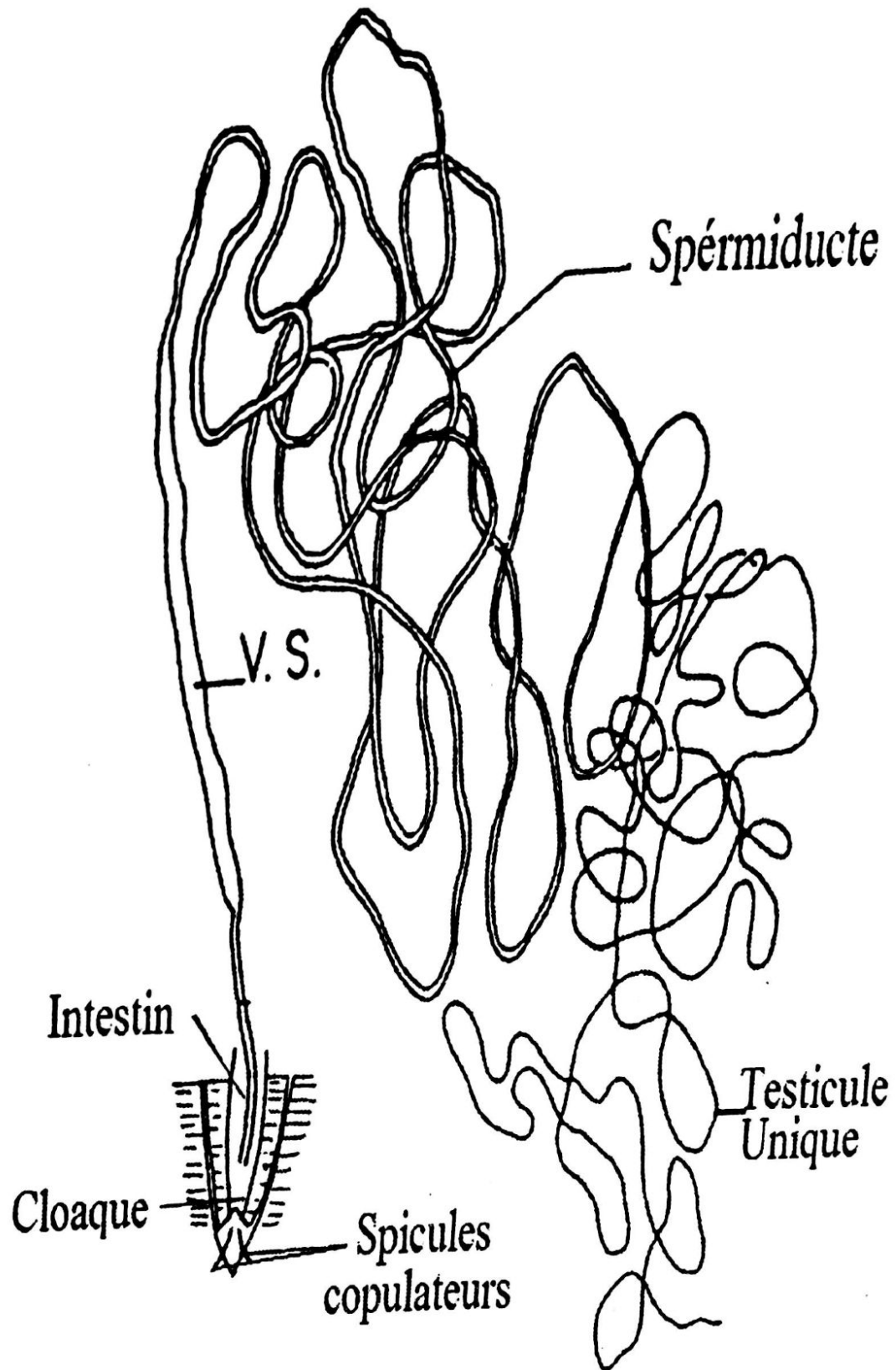
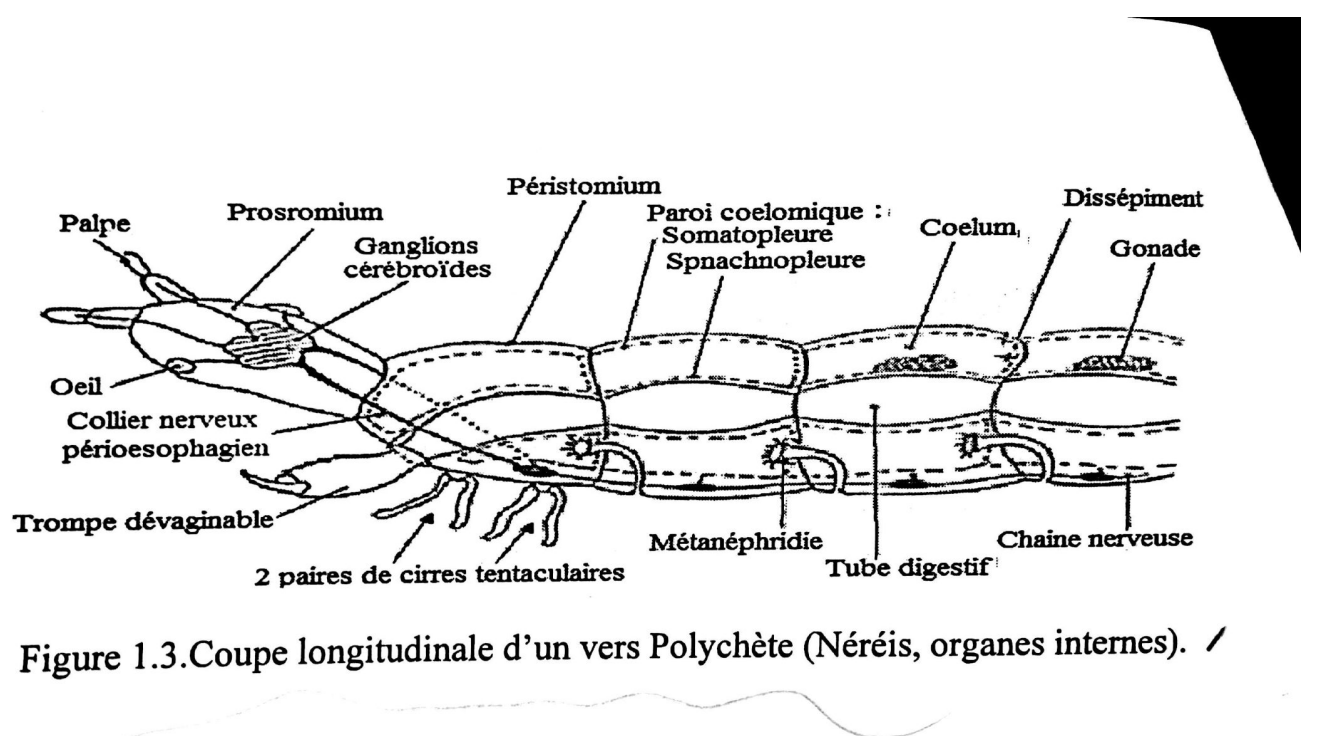
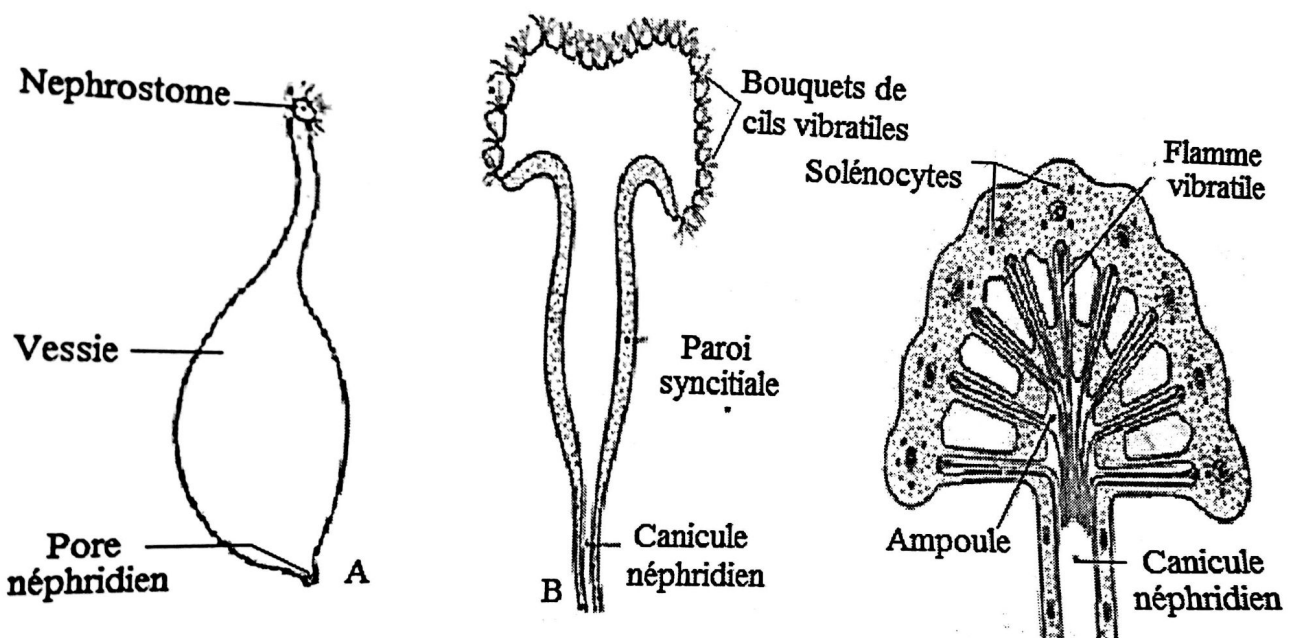


Figure 2.5. Appareil génital mâle d'un Nématode.



✓ Figure 1.3. Coupe longitudinale d'un vers Polychète (Néréis, organes internes). /

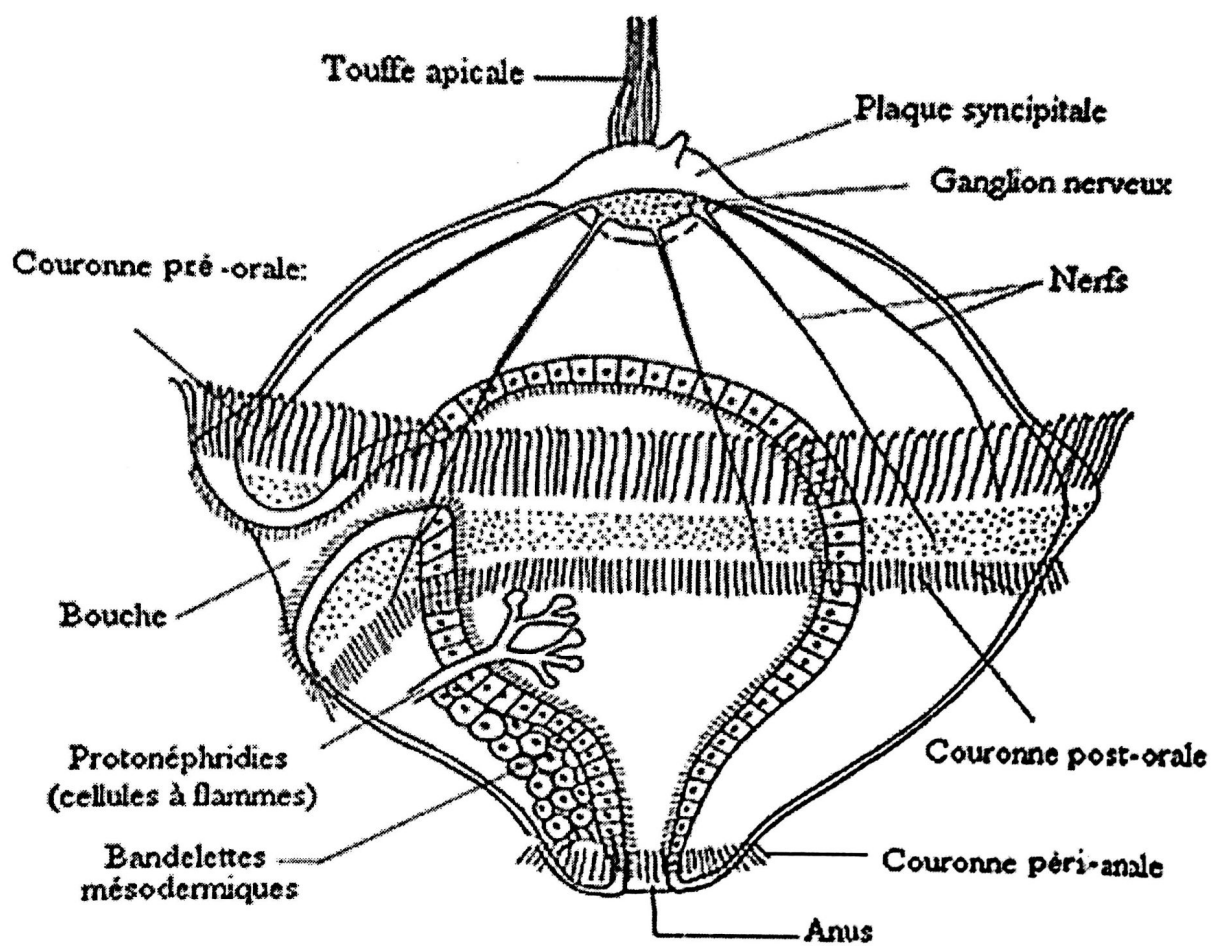
✓ Figure 1.3. Coupe longitudinale d'un vers Polychète (Néréis, organes internes). ✓



Métanéphridie A: vue d'ensemble. B: Néphridie en coupe

Néphridie à Solénocyte

✓ Figure 1.4. Appareil excréteur des Polychètes. ✓



✓ Figure 1.6. Larve Trochophore des Polychètes. ✓

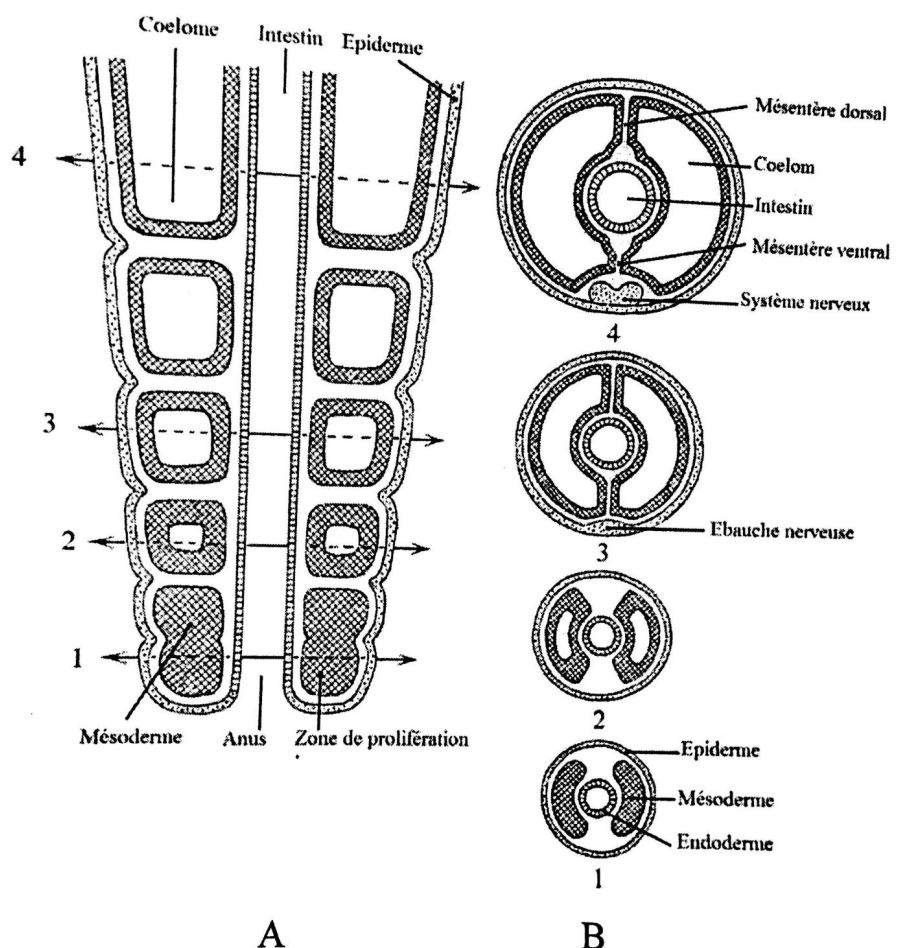


Figure 1.7. Formation des sacs cœlomiques et des métamères/  
 A : Coupe verticale longitudinale. B : Coupe transversale

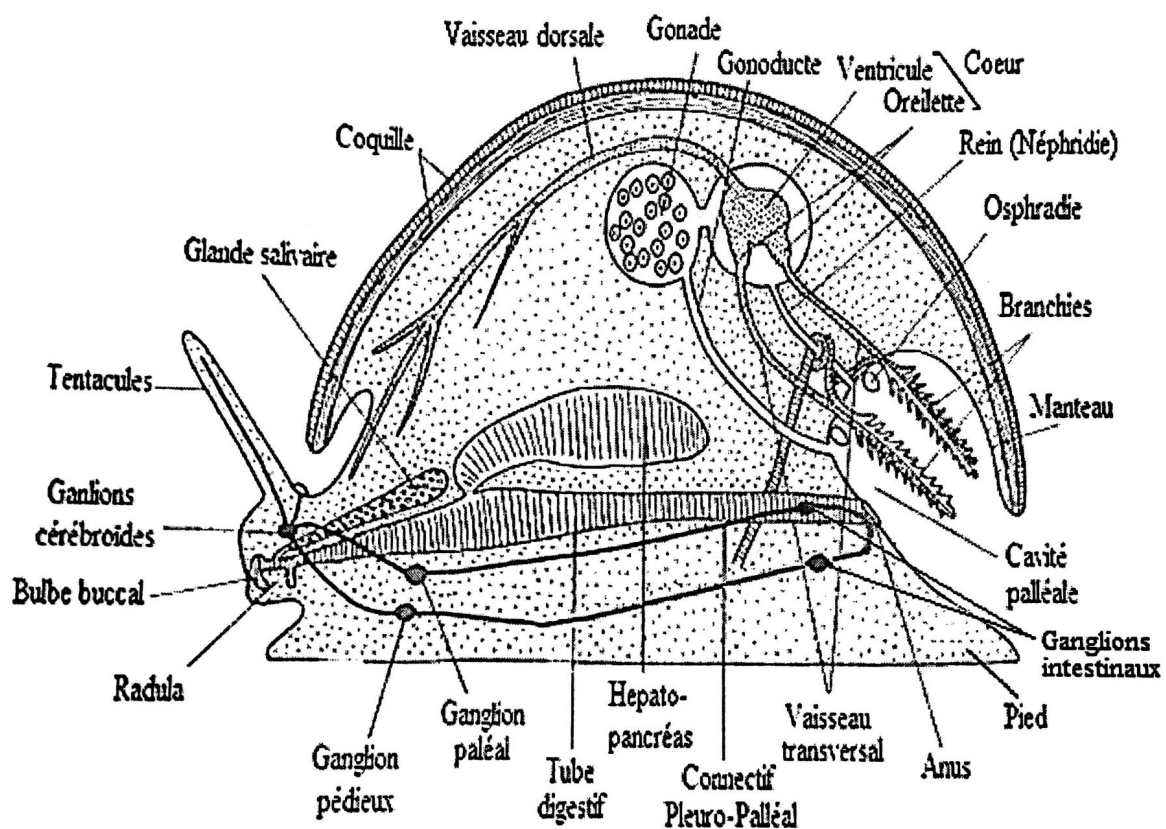


Figure 2.1. Organisation générale d'un Mollusque type en coupe longitudinale.

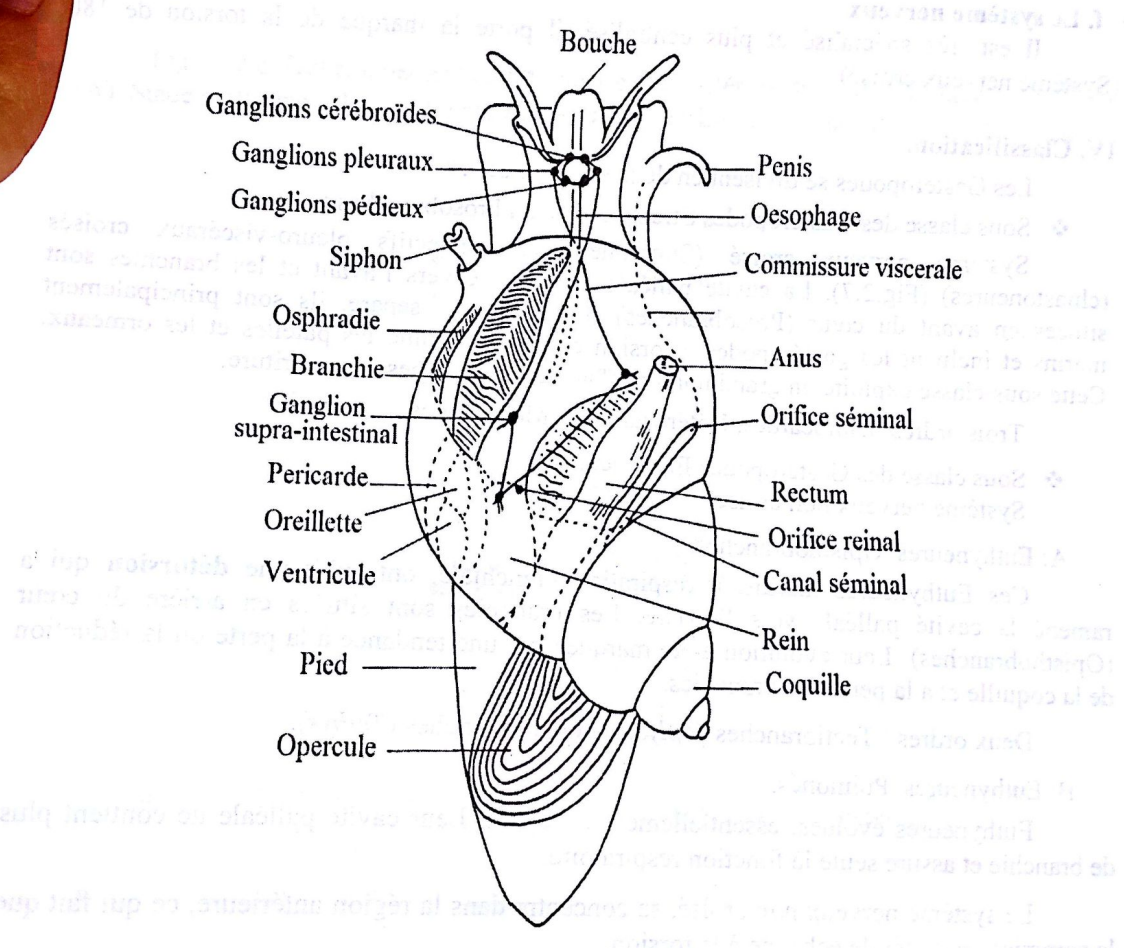
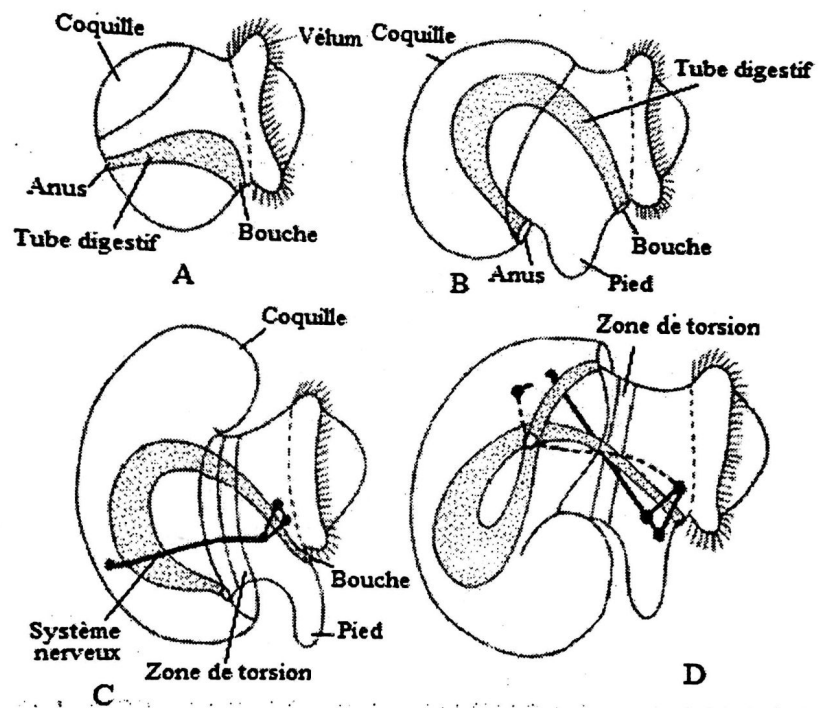
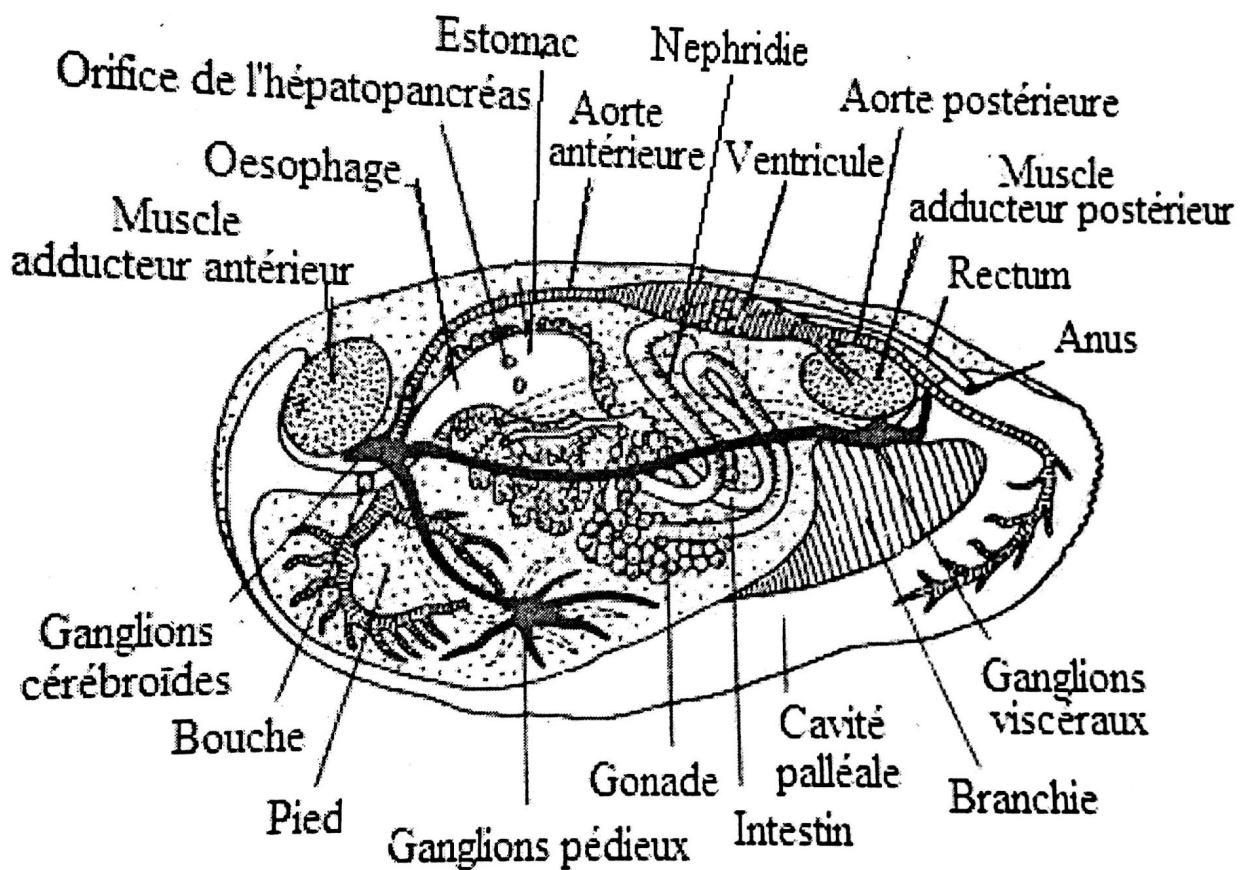


Figure 2.5. Organisation d'un Gastéropode Prosobranche (vue dorsale). V



↗ Figure 2.6. Développement embryonnaire des gastéropodes (larve véligère). ↘  
 (A): Stade rectiligne ; (B, C) : Flexion endogastrique ;(D) : Enroulement et Torsion de la masse viscérale.



✓ Figure 2.8. Coupe longitudinale de la moule (Lamellibranche). ~

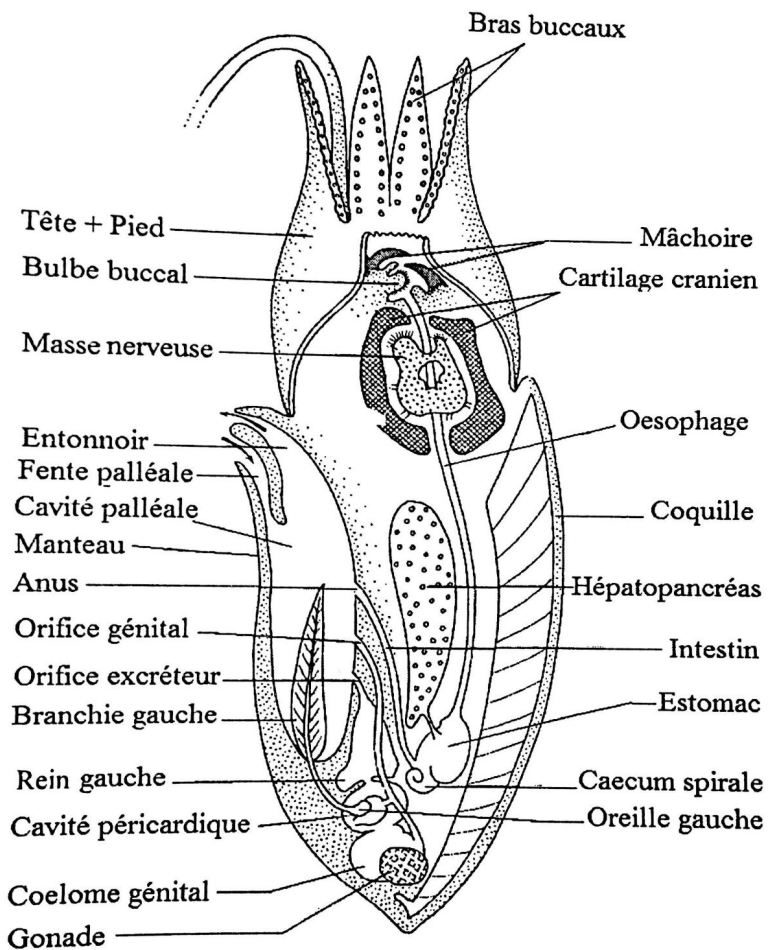


Figure 2.14. Coupe longitudinale d'un Céphalopode (*Sepia officinalis*) ↗

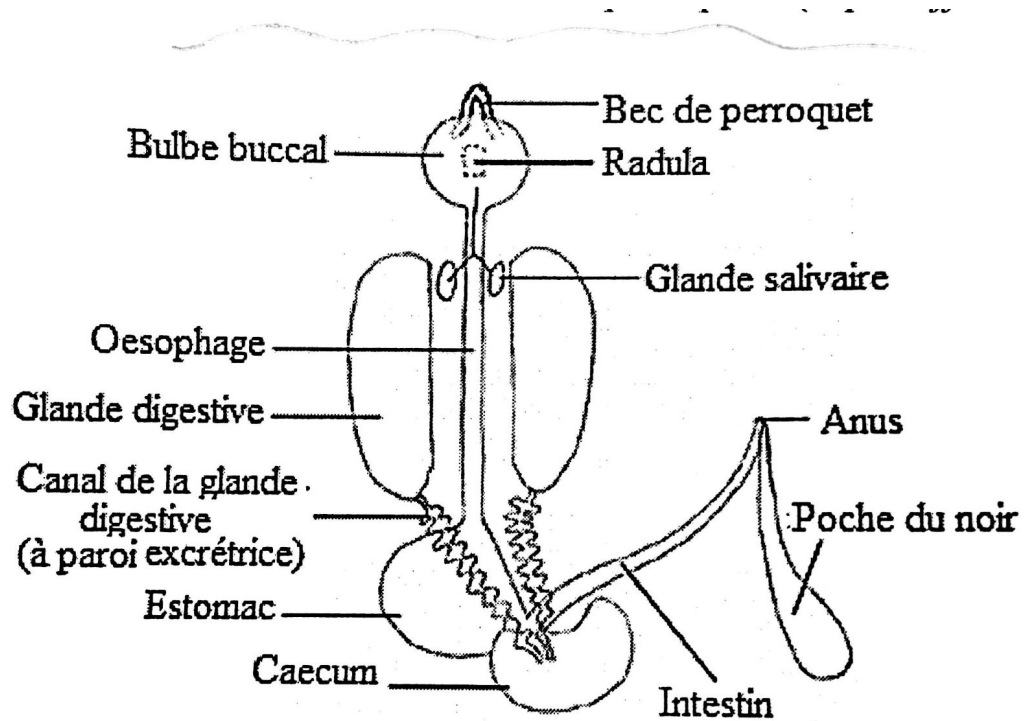


Figure 2.15. Appareil digestif d'un Céphalopode. ✓ /